

# Конструкции pipe dreams для многочленов Шуберта типов $B, C$ и $D$

Тутубалина А. А.

Москва, июнь 2021

- $G$  — односвязная полупростая группа Ли над  $\mathbb{C}$ ,  $B \subset G$  — борелевская подгруппа,  $T \subset B$  — максимальный тор ( $\dim T = n$ ).  $W$  — группа Вейля, соответствующая  $G$ .

- $G$  — односвязная полупростая группа Ли над  $\mathbb{C}$ ,  $B \subset G$  — борелевская подгруппа,  $T \subset B$  — максимальный тор ( $\dim T = n$ ).  $W$  — группа Вейля, соответствующая  $G$ .
- $G/B$  — многообразие флагов.

- $G$  — односвязная полупростая группа Ли над  $\mathbb{C}$ ,  $B \subset G$  — борелевская подгруппа,  $T \subset B$  — максимальный тор ( $\dim T = n$ ).  $W$  — группа Вейля, соответствующая  $G$ .
- $G/B$  — многообразие флагов.
- $H^*(G/B, \mathbb{Q}) \simeq \mathbb{Q}[z_1, \dots, z_n] / \mathbb{Q}[z_1, \dots, z_n]_+^W$   
(здесь  $\mathbb{Q}[z_1, \dots, z_n]_+^W$  — идеал, порожденный полиномиальными  $W$ -инвариантами положительной степени).

- $G$  — односвязная полупростая группа Ли над  $\mathbb{C}$ ,  $B \subset G$  — борелевская подгруппа,  $T \subset B$  — максимальный тор ( $\dim T = n$ ).  $W$  — группа Вейля, соответствующая  $G$ .
- $G/B$  — многообразие флагов.
- $H^*(G/B, \mathbb{Q}) \simeq \mathbb{Q}[z_1, \dots, z_n] / \mathbb{Q}[z_1, \dots, z_n]_+^W$   
(здесь  $\mathbb{Q}[z_1, \dots, z_n]_+^W$  — идеал, порожденный полиномиальными  $W$ -инвариантами положительной степени).
- В  $H^*(G/B, \mathbb{Q})$  есть базис из классов Шуберта  $\sigma_w$  (классов замыканий  $B$ -орбит в  $G/B$ ), индексированных  $w \in W$ .

- $G$  — односвязная полупростая группа Ли над  $\mathbb{C}$ ,  $B \subset G$  — борелевская подгруппа,  $T \subset B$  — максимальный тор ( $\dim T = n$ ).  $W$  — группа Вейля, соответствующая  $G$ .
- $G/B$  — многообразие флагов.
- $H^*(G/B, \mathbb{Q}) \simeq \mathbb{Q}[z_1, \dots, z_n] / \mathbb{Q}[z_1, \dots, z_n]_+^W$   
(здесь  $\mathbb{Q}[z_1, \dots, z_n]_+^W$  — идеал, порожденный полиномиальными  $W$ -инвариантами положительной степени).
- В  $H^*(G/B, \mathbb{Q})$  есть базис из классов Шуберта  $\sigma_w$  (классов замыканий  $B$ -орбит в  $G/B$ ), индексированных  $w \in W$ .

## Задача

Построить систему многочленов, представляющих классы Шуберта.

- $G$  — односвязная полупростая группа Ли над  $\mathbb{C}$ ,  $B \subset G$  — борелевская подгруппа,  $T \subset B$  — максимальный тор ( $\dim T = n$ ).  $W$  — группа Вейля, соответствующая  $G$ .
- $G/B$  — многообразие флагов.
- $H^*(G/B, \mathbb{Q}) \simeq \mathbb{Q}[z_1, \dots, z_n] / \mathbb{Q}[z_1, \dots, z_n]_+^W$   
(здесь  $\mathbb{Q}[z_1, \dots, z_n]_+^W$  — идеал, порожденный полиномиальными  $W$ -инвариантами положительной степени).
- В  $H^*(G/B, \mathbb{Q})$  есть базис из классов Шуберта  $\sigma_w$  (классов замыканий  $B$ -орбит в  $G/B$ ), индексированных  $w \in W$ .

## Задача

Построить систему многочленов, представляющих классы Шуберта.

- Ответ для  $G = GL_n$  — многочлены Шуберта  $\mathfrak{S}_w$  (А. Ласку, М.-П. Шютценберже).
  - Определяются при помощи операторов разделенных разностей  $\partial_i$ .
  - Существует комбинаторное определение через т. н. pipe dreams (С. Фомин, Ан. Кириллов, а также С. Билли, Н. Бержерон).

- Вложения  $GL_n \hookrightarrow GL_{n+1}$  и  $B_n \hookrightarrow B_{n+1}$  индуцируют вложение многообразий флагов  $GL_n/B_n \hookrightarrow GL_{n+1}/B_{n+1}$  и сюръекцию  $H^*(GL_{n+1}/B_{n+1}, \mathbb{Q}) \rightarrow H^*(GL_n/B_n, \mathbb{Q})$ .



- Вложения  $GL_n \hookrightarrow GL_{n+1}$  и  $B_n \hookrightarrow B_{n+1}$  индуцируют вложение многообразий флагов  $GL_n/B_n \hookrightarrow GL_{n+1}/B_{n+1}$  и сюръекцию  $H^*(GL_{n+1}/B_{n+1}, \mathbb{Q}) \rightarrow H^*(GL_n/B_n, \mathbb{Q})$ .
- Она согласуется с классами Шуберта:  $\sigma_w \in H^*(GL_{n+1}/B_{n+1}, \mathbb{Q})$  переходит в  $\sigma_w \in H^*(GL_n/B_n, \mathbb{Q})$  для  $w \in \mathcal{S}_n \subset \mathcal{S}_{n+1}$ .

- Вложения  $GL_n \hookrightarrow GL_{n+1}$  и  $B_n \hookrightarrow B_{n+1}$  индуцируют вложение многообразий флагов  $GL_n/B_n \hookrightarrow GL_{n+1}/B_{n+1}$  и сюръекцию  $H^*(GL_{n+1}/B_{n+1}, \mathbb{Q}) \rightarrow H^*(GL_n/B_n, \mathbb{Q})$ .
- Она согласуется с классами Шуберта:  $\sigma_w \in H^*(GL_{n+1}/B_{n+1}, \mathbb{Q})$  переходит в  $\sigma_w \in H^*(GL_n/B_n, \mathbb{Q})$  для  $w \in \mathcal{S}_n \subset \mathcal{S}_{n+1}$ .
- Можно определить *стабильные классы Шуберта*:  
 $\sigma_w^{(\infty)} = \varprojlim \sigma_w^{(n)} \in \varprojlim H^*(GL_n/B_n, \mathbb{Q})$  для  $w \in \mathcal{S}_\infty = \bigcup \mathcal{S}_n$ .

- Вложения  $GL_n \hookrightarrow GL_{n+1}$  и  $B_n \hookrightarrow B_{n+1}$  индуцируют вложение многообразий флагов  $GL_n/B_n \hookrightarrow GL_{n+1}/B_{n+1}$  и сюръекцию  $H^*(GL_{n+1}/B_{n+1}, \mathbb{Q}) \rightarrow H^*(GL_n/B_n, \mathbb{Q})$ .
- Она согласуется с классами Шуберта:  $\sigma_w \in H^*(GL_{n+1}/B_{n+1}, \mathbb{Q})$  переходит в  $\sigma_w \in H^*(GL_n/B_n, \mathbb{Q})$  для  $w \in \mathcal{S}_n \subset \mathcal{S}_{n+1}$ .
- Можно определить *стабильные классы Шуберта*:  
 $\sigma_w^{(\infty)} = \varprojlim \sigma_w^{(n)} \in \varprojlim H^*(GL_n/B_n, \mathbb{Q})$  для  $w \in \mathcal{S}_\infty = \bigcup \mathcal{S}_n$ .
- Априори их представители — однородные формальные степенные ряды в  $\mathbb{Q}[[z_1, z_2, \dots]]$ . Но в нашем случае это многочлены  $\mathfrak{S}_w$ .

- Вложения  $GL_n \hookrightarrow GL_{n+1}$  и  $B_n \hookrightarrow B_{n+1}$  индуцируют вложение многообразий флагов  $GL_n/B_n \hookrightarrow GL_{n+1}/B_{n+1}$  и сюръекцию  $H^*(GL_{n+1}/B_{n+1}, \mathbb{Q}) \rightarrow H^*(GL_n/B_n, \mathbb{Q})$ .
- Она согласуется с классами Шуберта:  $\sigma_w \in H^*(GL_{n+1}/B_{n+1}, \mathbb{Q})$  переходит в  $\sigma_w \in H^*(GL_n/B_n, \mathbb{Q})$  для  $w \in \mathcal{S}_n \subset \mathcal{S}_{n+1}$ .
- Можно определить *стабильные классы Шуберта*:  
 $\sigma_w^{(\infty)} = \varprojlim \sigma_w^{(n)} \in \varprojlim H^*(GL_n/B_n, \mathbb{Q})$  для  $w \in \mathcal{S}_\infty = \bigcup \mathcal{S}_n$ .
- Априори их представители — однородные формальные степенные ряды в  $\mathbb{Q}[[z_1, z_2, \dots]]$ . Но в нашем случае это многочлены  $\mathfrak{S}_w$ .
- То же самое можно сделать для групп  $G_n = SO_{2n+1}, Sp_{2n}$  или  $SO_{2n}$ .

## Задача

Построить систему представителей для  $\sigma_w^{(\infty)} \in \varprojlim H^*(G_n/B_n, \mathbb{Q})$  в кольце  $\mathbb{Q}[[z_1, z_2, \dots]]$ .

- Вложения  $GL_n \hookrightarrow GL_{n+1}$  и  $B_n \hookrightarrow B_{n+1}$  индуцируют вложение многообразий флагов  $GL_n/B_n \hookrightarrow GL_{n+1}/B_{n+1}$  и сюръекцию  $H^*(GL_{n+1}/B_{n+1}, \mathbb{Q}) \rightarrow H^*(GL_n/B_n, \mathbb{Q})$ .
- Она согласуется с классами Шуберта:  $\sigma_w \in H^*(GL_{n+1}/B_{n+1}, \mathbb{Q})$  переходит в  $\sigma_w \in H^*(GL_n/B_n, \mathbb{Q})$  для  $w \in \mathcal{S}_n \subset \mathcal{S}_{n+1}$ .
- Можно определить *стабильные классы Шуберта*:  
 $\sigma_w^{(\infty)} = \varprojlim \sigma_w^{(n)} \in \varprojlim H^*(GL_n/B_n, \mathbb{Q})$  для  $w \in \mathcal{S}_\infty = \bigcup \mathcal{S}_n$ .
- Априори их представители — однородные формальные степенные ряды в  $\mathbb{Q}[[z_1, z_2, \dots]]$ . Но в нашем случае это многочлены  $\mathfrak{S}_w$ .
- То же самое можно сделать для групп  $G_n = SO_{2n+1}, Sp_{2n}$  или  $SO_{2n}$ .

## Задача

Построить систему представителей для  $\sigma_w^{(\infty)} \in \varprojlim H^*(G_n/B_n, \mathbb{Q})$  в кольце  $\mathbb{Q}[[z_1, z_2, \dots]]$ .

- Ответ: (С. Билли, М. Хайман) «Многочлены» Шуберта  $\mathfrak{B}_w, \mathfrak{C}_w$  и  $\mathfrak{D}_w \in \mathbb{Q}[z_1, z_2, \dots, p_1(\mathbf{z}), p_3(\mathbf{z}), \dots]$ , где  $p_k(\mathbf{z}) = \sum z_i^k$ .
  - Определяются также через разделенные разности.
  - Можно построить для них аналоги pipe dreams (А. Т., Е. Смирнов).

- Группа перестановок  $\mathcal{S}_n$  состоит из биекций

$$w: \{1, \dots, n\} \rightarrow \{1, \dots, n\}$$

Она порождается простыми транспозициями  $s_i = (i \leftrightarrow i + 1)$  для  $i = 1, \dots, n - 1$ .

- Группа перестановок  $\mathcal{S}_n$  состоит из биекций

$$w: \{1, \dots, n\} \rightarrow \{1, \dots, n\}$$

Она порождается простыми транспозициями  $s_i = (i \leftrightarrow i + 1)$  для  $i = 1, \dots, n - 1$ .

- Группа  $\mathcal{BC}_n$  состоит из биекций

$$w: \{-n, \dots, -1, 1, \dots, n\} \rightarrow \{-n, \dots, -1, 1, \dots, n\}$$

$$w(-i) = -w(i)$$

Порождается простыми транспозициями  $s_i = (i \leftrightarrow i + 1)$  для  $i = 1, \dots, n - 1$  и  $s_0 = (-1 \leftrightarrow 1)$ .

- Группа перестановок  $\mathcal{S}_n$  состоит из биекций

$$w: \{1, \dots, n\} \rightarrow \{1, \dots, n\}$$

Она порождается простыми транспозициями  $s_i = (i \leftrightarrow i + 1)$  для  $i = 1, \dots, n - 1$ .

- Группа  $\mathcal{BC}_n$  состоит из биекций

$$w: \{-n, \dots, -1, 1, \dots, n\} \rightarrow \{-n, \dots, -1, 1, \dots, n\}$$

$$w(-i) = -w(i)$$

Порождается простыми транспозициями  $s_i = (i \leftrightarrow i + 1)$  для  $i = 1, \dots, n - 1$  и  $s_0 = (-1 \leftrightarrow 1)$ .

- Группа  $\mathcal{D}_n \subset \mathcal{BC}_n$  состоит из элементов  $w$ , меняющих знак у четного числа чисел  $1, \dots, n$ . Порождается простыми транспозициями  $s_i = (i \leftrightarrow i + 1)$  для  $i = 1, \dots, n - 1$  и  $s_{\bar{1}} = s_0 s_1 s_0 = (-1 \leftrightarrow 2) \circ (1 \leftrightarrow -2)$ .



- Группа перестановок  $\mathcal{S}_n$  состоит из биекций

$$w: \{1, \dots, n\} \rightarrow \{1, \dots, n\}$$

Она порождается простыми транспозициями  $s_i = (i \leftrightarrow i + 1)$  для  $i = 1, \dots, n - 1$ .

- Группа  $\mathcal{BC}_n$  состоит из биекций

$$w: \{-n, \dots, -1, 1, \dots, n\} \rightarrow \{-n, \dots, -1, 1, \dots, n\}$$

$$w(-i) = -w(i)$$

Порождается простыми транспозициями  $s_i = (i \leftrightarrow i + 1)$  для  $i = 1, \dots, n - 1$  и  $s_0 = (-1 \leftrightarrow 1)$ .

- Группа  $\mathcal{D}_n \subset \mathcal{BC}_n$  состоит из элементов  $w$ , меняющих знак у четного числа чисел  $1, \dots, n$ . Порождается простыми транспозициями  $s_i = (i \leftrightarrow i + 1)$  для  $i = 1, \dots, n - 1$  и  $s_{\bar{1}} = s_0 s_1 s_0 = (-1 \leftrightarrow 2) \circ (1 \leftrightarrow -2)$ .
- Обозначим

$$\mathcal{S}_\infty = \varinjlim \mathcal{S}_n, \mathcal{BC}_\infty = \varinjlim \mathcal{BC}_n, \mathcal{D}_\infty = \varinjlim \mathcal{D}_n$$

- Группа перестановок  $\mathcal{S}_n$  состоит из биекций

$$w: \{1, \dots, n\} \rightarrow \{1, \dots, n\}$$

Она порождается простыми транспозициями  $s_i = (i \leftrightarrow i + 1)$  для  $i = 1, \dots, n - 1$ .

- Группа  $\mathcal{BC}_n$  состоит из биекций

$$w: \{-n, \dots, -1, 1, \dots, n\} \rightarrow \{-n, \dots, -1, 1, \dots, n\}$$

$$w(-i) = -w(i)$$

Порождается простыми транспозициями  $s_i = (i \leftrightarrow i + 1)$  для  $i = 1, \dots, n - 1$  и  $s_0 = (-1 \leftrightarrow 1)$ .

- Группа  $\mathcal{D}_n \subset \mathcal{BC}_n$  состоит из элементов  $w$ , меняющих знак у четного числа чисел  $1, \dots, n$ . Порождается простыми транспозициями  $s_i = (i \leftrightarrow i + 1)$  для  $i = 1, \dots, n - 1$  и  $s_{\bar{1}} = s_0 s_1 s_0 = (-1 \leftrightarrow 2) \circ (1 \leftrightarrow -2)$ .
- Обозначим

$$\mathcal{S}_\infty = \varinjlim \mathcal{S}_n, \mathcal{BC}_\infty = \varinjlim \mathcal{BC}_n, \mathcal{D}_\infty = \varinjlim \mathcal{D}_n$$

- Через  $\mathcal{F}_\infty$  будем обозначать одну из групп  $\mathcal{S}_\infty, \mathcal{BC}_\infty, \mathcal{D}_\infty$ .

Образующие групп  $\mathcal{S}_\infty, \mathcal{BC}_\infty, \mathcal{D}_\infty$  связаны соотношениями Кокстера:  $s_i^2 = e$  для всех  $i$  и

$$\begin{aligned} \mathcal{S}_\infty \quad & s_i s_j = s_j s_i, \text{ если } |i - j| \geq 2, \\ & s_i s_{i+1} s_i = s_{i+1} s_i s_{i+1}, \text{ для } i \geq 1; \end{aligned}$$

Образующие групп  $\mathcal{S}_\infty, \mathcal{BC}_\infty, \mathcal{D}_\infty$  связаны соотношениями Кокстера:  $s_i^2 = e$  для всех  $i$  и

$$\mathcal{S}_\infty \quad s_i s_j = s_j s_i, \text{ если } |i - j| \geq 2, \\ s_i s_{i+1} s_i = s_{i+1} s_i s_{i+1}, \text{ для } i \geq 1;$$

$$\mathcal{BC}_\infty \quad s_i s_j = s_j s_i, \text{ если } |i - j| \geq 2, \\ s_i s_{i+1} s_i = s_{i+1} s_i s_{i+1}, \text{ для } i \geq 1, \\ s_0 s_1 s_0 s_1 = s_1 s_0 s_1 s_0.$$

Образующие групп  $\mathcal{S}_\infty, \mathcal{BC}_\infty, \mathcal{D}_\infty$  связаны соотношениями Кокстера:  $s_i^2 = e$  для всех  $i$  и

$$\mathcal{S}_\infty \quad s_i s_j = s_j s_i, \text{ если } |i - j| \geq 2, \\ s_i s_{i+1} s_i = s_{i+1} s_i s_{i+1}, \text{ для } i \geq 1;$$

$$\mathcal{BC}_\infty \quad s_i s_j = s_j s_i, \text{ если } |i - j| \geq 2, \\ s_i s_{i+1} s_i = s_{i+1} s_i s_{i+1}, \text{ для } i \geq 1, \\ s_0 s_1 s_0 s_1 = s_1 s_0 s_1 s_0.$$

$$\mathcal{D}_\infty \quad s_1 s_{\hat{1}} = s_{\hat{1}} s_1 \\ s_i s_j = s_j s_i, \text{ если } |i - j| \geq 2, \\ s_i s_{i+1} s_i = s_{i+1} s_i s_{i+1}, \text{ для } i \geq 1 \text{ (здесь } i, j \in \{\hat{1}, 1, 2, \dots\}; \text{ при арифметических операциях воспринимаем } \hat{1} \text{ как } 1).$$

Образующие групп  $\mathcal{S}_\infty, \mathcal{BC}_\infty, \mathcal{D}_\infty$  связаны соотношениями Кокстера:  $s_i^2 = e$  для всех  $i$  и

$$\mathcal{S}_\infty \quad s_i s_j = s_j s_i, \text{ если } |i - j| \geq 2, \\ s_i s_{i+1} s_i = s_{i+1} s_i s_{i+1}, \text{ для } i \geq 1;$$

$$\mathcal{BC}_\infty \quad s_i s_j = s_j s_i, \text{ если } |i - j| \geq 2, \\ s_i s_{i+1} s_i = s_{i+1} s_i s_{i+1}, \text{ для } i \geq 1, \\ s_0 s_1 s_0 s_1 = s_1 s_0 s_1 s_0.$$

$$\mathcal{D}_\infty \quad s_1 s_{\hat{1}} = s_{\hat{1}} s_1 \\ s_i s_j = s_j s_i, \text{ если } |i - j| \geq 2, \\ s_i s_{i+1} s_i = s_{i+1} s_i s_{i+1}, \text{ для } i \geq 1 \text{ (здесь } i, j \in \{\hat{1}, 1, 2, \dots\}; \text{ при} \\ \text{арифметических операциях воспринимаем } \hat{1} \text{ как } 1).$$

Слово в  $\mathcal{F}_\infty$  — последовательность образующих:  $(s_{i_1}, \dots, s_{i_k})$ . Это слово представляет  $w$ , если  $w = s_{i_1} \dots s_{i_k}$ .

Образующие групп  $\mathcal{S}_\infty, \mathcal{BC}_\infty, \mathcal{D}_\infty$  связаны соотношениями Кокстера:  $s_i^2 = e$  для всех  $i$  и

$$\mathcal{S}_\infty \quad s_i s_j = s_j s_i, \text{ если } |i - j| \geq 2, \\ s_i s_{i+1} s_i = s_{i+1} s_i s_{i+1}, \text{ для } i \geq 1;$$

$$\mathcal{BC}_\infty \quad s_i s_j = s_j s_i, \text{ если } |i - j| \geq 2, \\ s_i s_{i+1} s_i = s_{i+1} s_i s_{i+1}, \text{ для } i \geq 1, \\ s_0 s_1 s_0 s_1 = s_1 s_0 s_1 s_0.$$

$$\mathcal{D}_\infty \quad s_1 s_{\hat{1}} = s_{\hat{1}} s_1 \\ s_i s_j = s_j s_i, \text{ если } |i - j| \geq 2, \\ s_i s_{i+1} s_i = s_{i+1} s_i s_{i+1}, \text{ для } i \geq 1 \text{ (здесь } i, j \in \{\hat{1}, 1, 2, \dots\}; \text{ при} \\ \text{арифметических операциях воспринимаем } \hat{1} \text{ как } 1).$$

Слово в  $\mathcal{F}_\infty$  — последовательность образующих:  $(s_{i_1}, \dots, s_{i_k})$ . Это слово представляет  $w$ , если  $w = s_{i_1} \dots s_{i_k}$ . Длина  $\ell(w)$  элемента  $w$  — это длина самого короткого слова, представляющего  $w$ .

Образующие групп  $\mathcal{S}_\infty, \mathcal{BC}_\infty, \mathcal{D}_\infty$  связаны соотношениями Кокстера:  $s_i^2 = e$  для всех  $i$  и

$$\mathcal{S}_\infty \quad s_i s_j = s_j s_i, \text{ если } |i - j| \geq 2, \\ s_i s_{i+1} s_i = s_{i+1} s_i s_{i+1}, \text{ для } i \geq 1;$$

$$\mathcal{BC}_\infty \quad s_i s_j = s_j s_i, \text{ если } |i - j| \geq 2, \\ s_i s_{i+1} s_i = s_{i+1} s_i s_{i+1}, \text{ для } i \geq 1, \\ s_0 s_1 s_0 s_1 = s_1 s_0 s_1 s_0.$$

$$\mathcal{D}_\infty \quad s_1 s_{\hat{1}} = s_{\hat{1}} s_1 \\ s_i s_j = s_j s_i, \text{ если } |i - j| \geq 2, \\ s_i s_{i+1} s_i = s_{i+1} s_i s_{i+1}, \text{ для } i \geq 1 \text{ (здесь } i, j \in \{\hat{1}, 1, 2, \dots\}; \text{ при} \\ \text{арифметических операциях воспринимаем } \hat{1} \text{ как } 1).$$

Слово в  $\mathcal{F}_\infty$  — последовательность образующих:  $(s_{i_1}, \dots, s_{i_k})$ . Это слово представляет  $w$ , если  $w = s_{i_1} \dots s_{i_k}$ . Длина  $\ell(w)$  элемента  $w$  — это длина самого короткого слова, представляющего  $w$ . Слова минимальной длины, представляющие  $w$ , называются *приведенными*.

Однострочная запись:  $w = w(1)w(2) \dots w(n)$ . В случае  $w \in \mathcal{BC}_n$  или  $w \in \mathcal{D}_n$  пишем  $\bar{m}$  вместо  $-m < 0$ . Например:

$$1432 \in \mathcal{S}_4, \quad 3\bar{2}\bar{4}1 \in \mathcal{BC}_4$$



Рассматриваем кольца  $\mathbb{Q}[\mathbf{z}] = \mathbb{Q}[z_1, z_2, \dots]$  и  $\mathbb{Q}[\mathbf{z}, p_1, p_3, \dots] = \mathbb{Q}[z_1, z_2, \dots, p_1, p_3, \dots]$ , где  $p_k = z_1^k + z_2^k + \dots$ .

Рассматриваем кольца  $\mathbb{Q}[\mathbf{z}] = \mathbb{Q}[z_1, z_2, \dots]$  и  $\mathbb{Q}[\mathbf{z}, p_1, p_3, \dots] = \mathbb{Q}[z_1, z_2, \dots, p_1, p_3, \dots]$ , где  $p_k = z_1^k + z_2^k + \dots$ .

- $S_\infty$  действует на кольцо многочленов  $\mathbb{Q}[\mathbf{z}]$  перестановкой  $z_i$ :

$$s_i f(z_1, \dots, z_i, z_{i+1}, \dots) = f(z_1, \dots, z_{i+1}, z_i, \dots)$$

Рассматриваем кольца  $\mathbb{Q}[\mathbf{z}] = \mathbb{Q}[z_1, z_2, \dots]$  и  $\mathbb{Q}[\mathbf{z}, p_1, p_3, \dots] = \mathbb{Q}[z_1, z_2, \dots, p_1, p_3, \dots]$ , где  $p_k = z_1^k + z_2^k + \dots$ .

- $S_\infty$  действует на кольцо многочленов  $\mathbb{Q}[\mathbf{z}]$  перестановкой  $z_i$ :

$$s_i f(z_1, \dots, z_i, z_{i+1}, \dots) = f(z_1, \dots, z_{i+1}, z_i, \dots)$$

- $BC_\infty$  действует на кольцо формальных степенных рядов  $\mathbb{Q}[[\mathbf{z}]]$ :

$$s_i f(z_1, \dots, z_i, z_{i+1}, \dots) = f(z_1, \dots, z_{i+1}, z_i, \dots) \text{ для } i \geq 1$$

$$s_0 f(z_1, z_2, \dots) = f(-z_1, z_2, \dots).$$

Рассматриваем кольца  $\mathbb{Q}[\mathbf{z}] = \mathbb{Q}[z_1, z_2, \dots]$  и  $\mathbb{Q}[\mathbf{z}, p_1, p_3, \dots] = \mathbb{Q}[z_1, z_2, \dots, p_1, p_3, \dots]$ , где  $p_k = z_1^k + z_2^k + \dots$ .

- $S_\infty$  действует на кольцо многочленов  $\mathbb{Q}[\mathbf{z}]$  перестановкой  $z_i$ :

$$s_i f(z_1, \dots, z_i, z_{i+1}, \dots) = f(z_1, \dots, z_{i+1}, z_i, \dots)$$

- $BC_\infty$  действует на кольцо формальных степенных рядов  $\mathbb{Q}[[\mathbf{z}]]$ :

$$s_i f(z_1, \dots, z_i, z_{i+1}, \dots) = f(z_1, \dots, z_{i+1}, z_i, \dots) \text{ для } i \geq 1$$

$$s_0 f(z_1, z_2, \dots) = f(-z_1, z_2, \dots).$$

Можно ограничить это действие на  $\mathbb{Q}[\mathbf{z}]$  и  $\mathbb{Q}[\mathbf{z}, p_1, p_3, \dots]$ :

$$s_i p_k = p_k \quad \text{и} \quad s_0 p_k = p_k - 2z_1^k$$

Рассматриваем кольца  $\mathbb{Q}[\mathbf{z}] = \mathbb{Q}[z_1, z_2, \dots]$  и  $\mathbb{Q}[\mathbf{z}, p_1, p_3, \dots] = \mathbb{Q}[z_1, z_2, \dots, p_1, p_3, \dots]$ , где  $p_k = z_1^k + z_2^k + \dots$ .

- $\mathcal{S}_\infty$  действует на кольцо многочленов  $\mathbb{Q}[\mathbf{z}]$  перестановкой  $z_i$ :

$$s_i f(z_1, \dots, z_i, z_{i+1}, \dots) = f(z_1, \dots, z_{i+1}, z_i, \dots)$$

- $\mathcal{BC}_\infty$  действует на кольцо формальных степенных рядов  $\mathbb{Q}[[\mathbf{z}]]$ :

$$s_i f(z_1, \dots, z_i, z_{i+1}, \dots) = f(z_1, \dots, z_{i+1}, z_i, \dots) \text{ для } i \geq 1$$

$$s_0 f(z_1, z_2, \dots) = f(-z_1, z_2, \dots).$$

Можно ограничить это действие на  $\mathbb{Q}[\mathbf{z}]$  и  $\mathbb{Q}[\mathbf{z}, p_1, p_3, \dots]$ :

$$s_i p_k = p_k \quad \text{и} \quad s_0 p_k = p_k - 2z_1^k$$

- $\mathcal{D}_\infty \subset \mathcal{BC}_\infty$  также действует на  $\mathbb{Q}[[\mathbf{z}]]$ ,  $\mathbb{Q}[\mathbf{z}]$  и  $\mathbb{Q}[\mathbf{z}, p_1, p_3, \dots]$ .

$$s_i f(z_1, \dots, z_i, z_{i+1}, \dots) = f(z_1, \dots, z_{i+1}, z_i, \dots) \text{ для } i \geq 1$$

$$s_1 f(z_1, z_2, z_3 \dots) = f(-z_2, -z_1, z_3 \dots).$$

Операторы разделенных разностей действуют на  $\mathbb{Q}[\mathbf{z}]$  и  $\mathbb{Q}[\mathbf{z}, p_1, p_3, \dots]$  следующим образом:

$$\partial_i f = \frac{f - s_i f}{z_i - z_{i+1}} \quad \text{для } i \geq 1;$$

$$\partial_0 f = \frac{f - s_0 f}{-2z_1};$$

$$\partial_0^B f = \frac{f - s_0 f}{-z_1};$$

$$\partial_1 f = \frac{f - s_1 f}{-z_1 - z_2}.$$

Операторы разделенных разностей действуют на  $\mathbb{Q}[\mathbf{z}]$  и  $\mathbb{Q}[\mathbf{z}, p_1, p_3, \dots]$  следующим образом:

$$\partial_i f = \frac{f - s_i f}{z_i - z_{i+1}} \quad \text{для } i \geq 1;$$

$$\partial_0 f = \frac{f - s_0 f}{-2z_1};$$

$$\partial_0^B f = \frac{f - s_0 f}{-z_1};$$

$$\partial_1 f = \frac{f - s_1 f}{-z_1 - z_2}.$$

Заметим, что в каждом из этих случаев частное действительно является многочленом/формальным степенным рядом.

- Многочлены Шуберта (типа  $A$ )  $\mathfrak{S}_w(\mathbf{z}) \in \mathbb{Q}[\mathbf{z}]$  индексированы перестановками  $w \in \mathcal{S}_\infty$ , однородны и удовлетворяют соотношениям

$$\begin{aligned}\mathfrak{S}_{\text{id}} &= 1; \\ \partial_i \mathfrak{S}_w &= \begin{cases} \mathfrak{S}_{ws_i} & \text{если } \ell(ws_i) < \ell(w); \\ 0 & \text{в противном случае} \end{cases}\end{aligned}$$

для всех  $i \geq 1$ .



- Многочлены Шуберта (типа A)  $\mathfrak{S}_w(\mathbf{z}) \in \mathbb{Q}[\mathbf{z}]$  индексированы перестановками  $w \in \mathcal{S}_\infty$ , однородны и удовлетворяют соотношениям

$$\begin{aligned} \mathfrak{S}_{\text{id}} &= 1; \\ \partial_i \mathfrak{S}_w &= \begin{cases} \mathfrak{S}_{ws_i} & \text{если } \ell(ws_i) < \ell(w); \\ 0 & \text{в противном случае} \end{cases} \end{aligned}$$

для всех  $i \geq 1$ .

- Многочлены Шуберта типа C  $\mathfrak{C}_w(\mathbf{z}, \mathbf{p}) \in \mathbb{Q}[\mathbf{z}, p_1, p_3, \dots]$  индексированы перестановками  $w \in \mathcal{BC}_\infty$ , однородны по  $\mathbf{z}$  и удовлетворяют соотношениям

$$\begin{aligned} \mathfrak{C}_{\text{id}} &= 1; \\ \partial_i \mathfrak{C}_w &= \begin{cases} \mathfrak{C}_{ws_i} & \text{если } \ell(ws_i) < \ell(w); \\ 0 & \text{в противном случае} \end{cases} \end{aligned} \tag{1}$$

для всех  $i \geq 0$ .

- Многочлены Шуберта (типа  $A$ )  $\mathfrak{S}_w(\mathbf{z}) \in \mathbb{Q}[\mathbf{z}]$  индексированы перестановками  $w \in \mathcal{S}_\infty$ , однородны и удовлетворяют соотношениям

$$\begin{aligned} \mathfrak{S}_{\text{id}} &= 1; \\ \partial_i \mathfrak{S}_w &= \begin{cases} \mathfrak{S}_{ws_i} & \text{если } \ell(ws_i) < \ell(w); \\ 0 & \text{в противном случае} \end{cases} \end{aligned}$$

для всех  $i \geq 1$ .

- Многочлены Шуберта типа  $C$   $\mathfrak{C}_w(\mathbf{z}, \mathbf{p}) \in \mathbb{Q}[\mathbf{z}, p_1, p_3, \dots]$  индексированы перестановками  $w \in \mathcal{BC}_\infty$ , однородны по  $\mathbf{z}$  и удовлетворяют соотношениям

$$\begin{aligned} \mathfrak{C}_{\text{id}} &= 1; \\ \partial_i \mathfrak{C}_w &= \begin{cases} \mathfrak{C}_{ws_i} & \text{если } \ell(ws_i) < \ell(w); \\ 0 & \text{в противном случае} \end{cases} \end{aligned} \quad (1)$$

для всех  $i \geq 0$ .

- Многочлены Шуберта типа  $B$ :  $\mathfrak{B}_w = 2^{-s(w)} \mathfrak{C}_w$ , где  $s(w)$  — количество чисел  $\{1, 2, \dots\}$ , меняющих знак под действием  $w \in \mathcal{BC}_\infty$ . Другое определение: заменить в (??)  $\partial_0$  на  $\partial_0^B$ .

- Многочлены Шуберта типа  $D$   $\mathfrak{D}_w(\mathbf{z}, \mathbf{p}) \in \mathbb{Q}[\mathbf{z}, p_1, p_3, \dots]$  индексированы перестановками  $w \in \mathcal{D}_\infty$ , однородны по  $\mathbf{z}$  и удовлетворяют соотношениям

$$\begin{aligned}\mathfrak{D}_{\text{id}} &= 1; \\ \partial_i \mathfrak{D}_w &= \begin{cases} \mathfrak{D}_{ws_i} & \text{если } \ell(ws_i) < \ell(w); \\ 0 & \text{в противном случае} \end{cases}\end{aligned}$$

для всех  $i = \hat{1}, 1, 2, \dots$

- Многочлены Шуберта типа  $D$   $\mathfrak{D}_w(\mathbf{z}, \mathbf{p}) \in \mathbb{Q}[\mathbf{z}, p_1, p_3, \dots]$  индексированы перестановками  $w \in \mathcal{D}_\infty$ , однородны по  $\mathbf{z}$  и удовлетворяют соотношениям

$$\begin{aligned}\mathfrak{D}_{\text{id}} &= 1; \\ \partial_i \mathfrak{D}_w &= \begin{cases} \mathfrak{D}_{ws_i} & \text{если } \ell(ws_i) < \ell(w); \\ 0 & \text{в противном случае} \end{cases}\end{aligned}$$

для всех  $i = \hat{1}, 1, 2, \dots$

Многочлены Шуберта (всех типов) однозначно задаются этими соотношениями.

- Многочлены Шуберта типа  $D$   $\mathfrak{D}_w(\mathbf{z}, \mathbf{p}) \in \mathbb{Q}[\mathbf{z}, p_1, p_3, \dots]$  индексированы перестановками  $w \in \mathcal{D}_\infty$ , однородны по  $\mathbf{z}$  и удовлетворяют соотношениям

$$\begin{aligned} \mathfrak{D}_{\text{id}} &= 1; \\ \partial_i \mathfrak{D}_w &= \begin{cases} \mathfrak{D}_{ws_i} & \text{если } \ell(ws_i) < \ell(w); \\ 0 & \text{в противном случае} \end{cases} \end{aligned}$$

для всех  $i = \hat{1}, 1, 2, \dots$

Многочлены Шуберта (всех типов) однозначно задаются этими соотношениями.

## Пример

$$\mathfrak{G}_{s_i} = z_1 + z_2 + \dots + z_i$$

$$\mathfrak{B}_{s_i} = \mathfrak{C}_{s_i} = \mathfrak{D}_{s_i} = -(z_{i+1} + z_{i+2} + z_{i+3} + \dots) \text{ для } i \geq 1 \text{ (для } i \geq 2 \text{ в случае } \mathfrak{D}_{s_i})$$

$$\mathfrak{C}_{s_0} = -(z_1 + z_2 + \dots)$$

$$\mathfrak{B}_{s_0} = -(z_1 + z_2 + \dots)/2$$

$$\mathfrak{D}_{s_1} = -(-z_1 + z_2 + z_3 + \dots)/2$$

$$\mathfrak{D}_{s_{\hat{1}}} = -(z_1 + z_2 + \dots)/2$$

Для удобства заменим кольцо  $\mathbb{Q}[\mathbf{z}, p_1(\mathbf{z}), p_3(\mathbf{z}), \dots]$  изоморфным ему  $\mathbb{Q}[\mathbf{z}, p_1(\mathbf{x}), p_3(\mathbf{x}), \dots]$ , где  $p_k(\mathbf{x}) = \sum_{i=1}^{\infty} x_i^k$ , и изоморфизм задан формулой  $p_k(\mathbf{x}) = -p_k(\mathbf{z})/2$ .

Для удобства заменим кольцо  $\mathbb{Q}[\mathbf{z}, p_1(\mathbf{z}), p_3(\mathbf{z}), \dots]$  изоморфным ему  $\mathbb{Q}[\mathbf{z}, p_1(\mathbf{x}), p_3(\mathbf{x}), \dots]$ , где  $p_k(\mathbf{x}) = \sum_{i=1}^{\infty} x_i^k$ , и изоморфизм задан формулой  $p_k(\mathbf{x}) = -p_k(\mathbf{z})/2$ .

В новом кольце многочлены Шуберта будут многочленами по переменным  $\mathbf{z}$  и симметрическими функциями по переменным  $\mathbf{x}$ .

Для удобства заменим кольцо  $\mathbb{Q}[\mathbf{z}, p_1(\mathbf{z}), p_3(\mathbf{z}), \dots]$  изоморфным ему  $\mathbb{Q}[\mathbf{z}, p_1(\mathbf{x}), p_3(\mathbf{x}), \dots]$ , где  $p_k(\mathbf{x}) = \sum_{i=1}^{\infty} x_i^k$ , и изоморфизм задан формулой  $p_k(\mathbf{x}) = -p_k(\mathbf{z})/2$ .

В новом кольце многочлены Шуберта будут многочленами по переменным  $\mathbf{z}$  и симметрическими функциями по переменным  $\mathbf{x}$ .

Образующие групп  $\mathcal{BC}_{\infty}$  и  $\mathcal{D}_{\infty}$  действуют на  $\mathbb{Q}[\mathbf{z}, p_1(\mathbf{x}), p_3(\mathbf{x}), \dots]$  по правилам:

$$\begin{aligned} s_i f(z_1, \dots, z_i, z_{i+1}, \dots; x_1, x_2, \dots) &= f(z_1, \dots, z_{i+1}, z_i, \dots; x_1, x_2, \dots) \quad \text{для } i \geq 1; \\ s_0 f(z_1, z_2, z_3, \dots; x_1, x_2, \dots) &= f(-z_1, z_2, z_3, \dots; z_1, x_1, x_2, \dots); \\ s_1 f(z_1, z_2, z_3, \dots; x_1, x_2, \dots) &= f(-z_2, -z_1, z_3, \dots; z_1, z_2, x_1, x_2, \dots). \end{aligned}$$



Для удобства заменим кольцо  $\mathbb{Q}[\mathbf{z}, p_1(\mathbf{z}), p_3(\mathbf{z}), \dots]$  изоморфным ему  $\mathbb{Q}[\mathbf{z}, p_1(\mathbf{x}), p_3(\mathbf{x}), \dots]$ , где  $p_k(\mathbf{x}) = \sum_{i=1}^{\infty} x_i^k$ , и изоморфизм задан формулой  $p_k(\mathbf{x}) = -p_k(\mathbf{z})/2$ .

В новом кольце многочлены Шуберта будут многочленами по переменным  $\mathbf{z}$  и симметрическими функциями по переменным  $\mathbf{x}$ .

Образующие групп  $\mathcal{BC}_{\infty}$  и  $\mathcal{D}_{\infty}$  действуют на  $\mathbb{Q}[\mathbf{z}, p_1(\mathbf{x}), p_3(\mathbf{x}), \dots]$  по правилам:

$$\begin{aligned} s_i f(z_1, \dots, z_i, z_{i+1}, \dots; x_1, x_2, \dots) &= f(z_1, \dots, z_{i+1}, z_i, \dots; x_1, x_2, \dots) \quad \text{для } i \geq 1; \\ s_0 f(z_1, z_2, z_3, \dots; x_1, x_2, \dots) &= f(-z_1, z_2, z_3, \dots; z_1, x_1, x_2, \dots); \\ s_{\hat{1}} f(z_1, z_2, z_3, \dots; x_1, x_2, \dots) &= f(-z_2, -z_1, z_3, \dots; z_1, z_2, x_1, x_2, \dots). \end{aligned}$$

## Пример

$$\mathfrak{S}_{s_i} = z_1 + z_2 + \dots + z_i$$

$$\mathfrak{B}_{s_i} = \mathfrak{C}_{s_i} = \mathfrak{D}_{s_i} = z_1 + \dots + z_i + 2p_1(\mathbf{x}) \quad \text{для } i \geq 1 \quad (\text{для } i \geq 2 \text{ в случае } \mathfrak{D}_{s_i})$$

$$\mathfrak{C}_{s_0} = 2p_1(\mathbf{x})$$

$$\mathfrak{B}_{s_0} = p_1(\mathbf{x})$$

$$\mathfrak{D}_{s_1} = z_1 + p_1(\mathbf{x})$$

$$\mathfrak{D}_{s_{\hat{1}}} = p_1(\mathbf{x})$$

Зафиксируем  $n$ . Рассмотрим диаграмму Юнга формы  $(n - 1, \dots, 2, 1)$ , которую мы будем называть базой  $B_{S_n}$ .

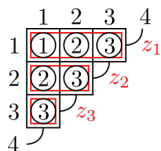


Рис.: База для pipe dreams размера  $n = 4$

Зафиксируем  $n$ . Рассмотрим диаграмму Юнга формы  $(n - 1, \dots, 2, 1)$ , которую мы будем называть базой  $B_{S_n}$ . Заполним ее крестами  $\times$  и коленами  $\curvearrowright$ .

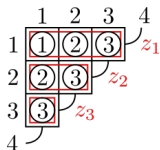


Рис.: База для pipe dreams размера  $n = 4$

Зафиксируем  $n$ . Рассмотрим диаграмму Юнга формы  $(n - 1, \dots, 2, 1)$ , которую мы будем называть базой  $B_{S_n}$ . Заполним ее крестами  $\oplus$  и коленами  $\lrcorner$ . Поместим по одиночному колену  $\lrcorner$  справа от каждого ряда и пронумеруем строки и столбцы числами от 1 до  $n$ . Получается объект, называемый *pipe dream*. Он состоит из  $n$  «труб», соединяющих левый край базы с верхним.

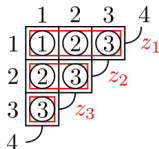


Рис.: База для pipe dreams размера  $n = 4$

Зафиксируем  $n$ . Рассмотрим диаграмму Юнга формы  $(n - 1, \dots, 2, 1)$ , которую мы будем называть базой  $B_{S_n}$ . Заполним ее крестами  $\dagger$  и коленами  $\lrcorner$ . Поместим по одиночному колену  $\lrcorner$  справа от каждого ряда и пронумеруем строки и столбцы числами от 1 до  $n$ . Получается объект, называемый *pipe dream*. Он состоит из  $n$  «труб», соединяющих левый край базы с верхним.

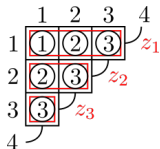


Рис.: База для pipe dreams размера  $n = 4$

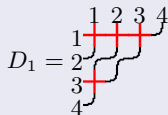
Каждой клетке  $\square$  базы  $B_{S_n}$  сопоставим:

- Вес  $\text{wt}(\square)$ . Он равен 1 для креста  $\dagger$  и 0 для колена  $\lrcorner$ .
- Элемент  $\sigma(\square) \in S_n$ . Он равен  $s_i$  для креста на  $i$ -той диагонали и  $\text{id}$  для колена.
- Переменную  $\text{var}(\square) = z_i$ , где  $i$  — номер строки.

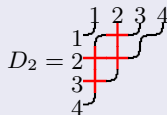
Каждому pipe dream  $D$  сопоставим:

- Моном  $\mathbf{z}^{\beta(D)} = \prod_{\square \in B_{S_n}} \text{var}(\square)^{\text{wt}(\square)}$  (т.е. произведение  $z_i$  по всем крестам в  $D$ );

## Пример



$$\mathbf{z}^{\beta(D_1)} = z_1^3 z_3$$

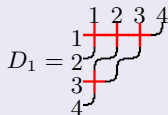


$$\mathbf{z}^{\beta(D_2)} = z_1 z_2^2 z_3$$

Каждому pipe dream  $D$  сопоставим:

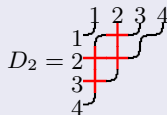
- Моном  $\mathbf{z}^{\beta(D)} = \prod_{\square \in B_{S_n}} \text{var}(\square)^{\text{wt}(\square)}$  (т.е. произведение  $z_i$  по всем крестам в  $D$ );
- Слово  $\text{word}(D)$ , получающееся при выписывании букв  $\sigma(\square)$  при чтении  $D$  справа налево сверху вниз.

## Пример



$$\mathbf{z}^{\beta(D_1)} = z_1^3 z_3$$

$$\text{word}(D_1) = s_3 s_2 s_1 s_3$$



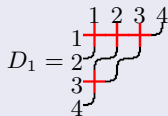
$$\mathbf{z}^{\beta(D_2)} = z_1 z_2^2 z_3$$

$$\text{word}(D_2) = s_2 s_3 s_2 s_3$$

Каждому pipe dream  $D$  сопоставим:

- Моном  $\mathbf{z}^{\beta(D)} = \prod_{\square \in B_{S_n}} \text{var}(\square)^{\text{wt}(\square)}$  (т.е. произведение  $z_i$  по всем крестам в  $D$ );
- Слово  $\text{word}(D)$ , получающееся при выписывании букв  $\sigma(\square)$  при чтении  $D$  справа налево сверху вниз.
- Если  $\text{word}(D)$  — приведенное слово для  $w \in S_n$ , то pipe dream  $D$  называется *приведенным формы  $w = w(D)$* .

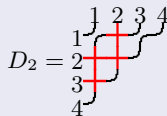
## Пример



$$\mathbf{z}^{\beta(D_1)} = z_1^3 z_3$$

$$\text{word}(D_1) = s_3 s_2 s_1 s_3$$

$$w(D_1) = 4132 \in S_4$$



$$\mathbf{z}^{\beta(D_2)} = z_1 z_2^2 z_3$$

$$\text{word}(D_2) = s_2 s_3 s_2 s_3$$

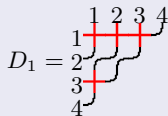
$D_2$  — неприведенный



Каждому pipe dream  $D$  сопоставим:

- Моном  $\mathbf{z}^{\beta(D)} = \prod_{\square \in B_{S_n}} \text{var}(\square)^{\text{wt}(\square)}$  (т.е. произведение  $z_i$  по всем крестам в  $D$ );
- Слово  $\text{word}(D)$ , получающееся при выписывании букв  $\sigma(\square)$  при чтении  $D$  справа налево сверху вниз.
- Если  $\text{word}(D)$  — приведенное слово для  $w \in S_n$ , то pipe dream  $D$  называется *приведенным формы  $w = w(D)$* .

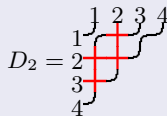
## Пример



$$\mathbf{z}^{\beta(D_1)} = z_1^3 z_3$$

$$\text{word}(D_1) = s_3 s_2 s_1 s_3$$

$$w(D_1) = 4132 \in S_4$$



$$\mathbf{z}^{\beta(D_2)} = z_1 z_2^2 z_3$$

$$\text{word}(D_2) = s_2 s_3 s_2 s_3$$

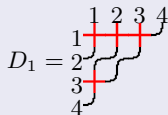
$D_2$  — неприведенный

Pipe dream приведенный  $\iff$  никакие две трубы не пересекаются дважды.

Каждому pipe dream  $D$  сопоставим:

- Моном  $\mathbf{z}^{\beta(D)} = \prod_{\square \in B_{S_n}} \text{var}(\square)^{\text{wt}(\square)}$  (т.е. произведение  $z_i$  по всем крестам в  $D$ );
- Слово  $\text{word}(D)$ , получающееся при выписывании букв  $\sigma(\square)$  при чтении  $D$  справа налево сверху вниз.
- Если  $\text{word}(D)$  — приведенное слово для  $w \in S_n$ , то pipe dream  $D$  называется *приведенным формы  $w = w(D)$* .

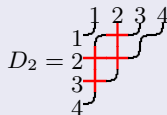
## Пример



$$\mathbf{z}^{\beta(D_1)} = z_1^3 z_3$$

$$\text{word}(D_1) = s_3 s_2 s_1 s_3$$

$$w(D_1) = 4132 \in S_4$$



$$\mathbf{z}^{\beta(D_2)} = z_1 z_2^2 z_3$$

$$\text{word}(D_2) = s_2 s_3 s_2 s_3$$

$D_2$  — неприведенный

Pipe dream приведенный  $\iff$  никакие две трубы не пересекаются дважды.  
Каждая труба в  $D$  соединяет  $i$  слева с  $w(D)(i)$  сверху.

Обозначим множество всех приведенных pipe dreams данной формы  $w \in \mathcal{S}_n$  через  $\text{PD}_{\mathcal{S}_n}(w)$ .

Теорема (Ан. Кириллов, С. Фомин, а также С. Билли, Н. Бержерон)

Для перестановки  $w \in \mathcal{S}_n$  верно

$$\mathfrak{S}_w(\mathbf{z}) = \sum_{D \in \text{PD}_{\mathcal{S}_n}(w)} \mathbf{z}^{\beta(D)}.$$

Обозначим множество всех приведенных pipe dreams данной формы  $w \in \mathcal{S}_n$  через  $\text{PD}_{\mathcal{S}_n}(w)$ .

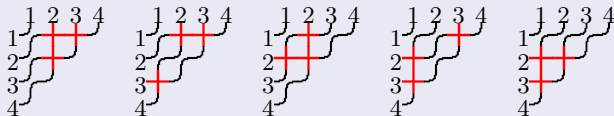
Теорема (Ан. Кириллов, С. Фомин, а также С. Билли, Н. Бержерон)

Для перестановки  $w \in \mathcal{S}_n$  верно

$$\mathfrak{S}_w(\mathbf{z}) = \sum_{D \in \text{PD}_{\mathcal{S}_n}(w)} \mathbf{z}^{\beta(D)}.$$

Пример

Пусть  $w = 1432 \in \mathcal{S}_4$ .



$$\mathfrak{S}_{1432}(\mathbf{z}) = z_1^2 z_2 + z_1^2 z_3 + z_1 z_2^2 + z_1 z_2 z_3 + z_2^2 z_3.$$

База  $B_{B_n}^k$  состоит из блока-«лесенки» (диаграммы Юнга формы  $(n-1, \dots, 2, 1)$ ) и  $k$  блоков-«уголков» (диаграмм Юнга формы  $(n, 1^{n-1})$ ). Блоки соединены коленами  $\curvearrowright$ .

В клетках с номером 0 размещаем колена  $\curvearrowright$  или колена с краном  $\curvearrowleft$ . В остальных клетках размещаем кресты  $\times$  или колена  $\curvearrowright$ . Назовем полученный объект  $b$ -pipe dream.

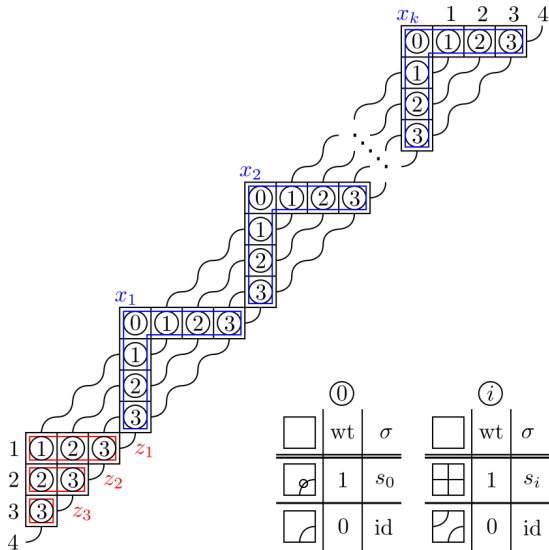


Рис.: База  $B_{B_4}^k$  для  $b$ -pipe dreams

Каждой клетке  $\square$  базы  $B_{\mathcal{B}_n}^k$  сопоставим:

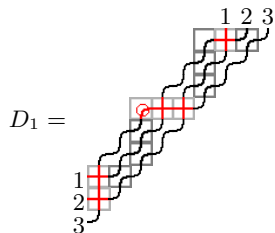
- Вес  $\text{wt}(\square)$ . Он равен 1 для креста  $\begin{array}{c} \vdash \\ \lrcorner, \llcorner \end{array}$  и колена с краном  $\curvearrowright$  и 0 для колена  $\curvearrowleft$ .
- Букву  $\sigma(\square) \in \mathcal{BC}_n$ . Он равен  $s_i$  для креста на диагонали с номером  $i > 0$ ,  $s_0$  для колена с краном и  $\text{id}$  для колена.
- Переменную  $\text{var}(\square)$ . Она равна  $z_i$  для клетки в  $i$ -той строке лесенки и  $x_i$  для клетки в  $i$ -том блоке-уголке.

Каждой клетке  $\square$  базы  $B_{\mathcal{B}_n}^k$  сопоставим:

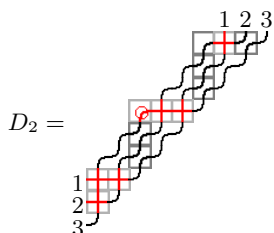
- Вес  $\text{wt}(\square)$ . Он равен 1 для креста  $\uparrow$  и колена с краном  $\curvearrowright$  и 0 для колена  $\downarrow$ ,  $\curvearrowleft$ .
- Букву  $\sigma(\square) \in \mathcal{BC}_n$ . Он равен  $s_i$  для креста на диагонали с номером  $i > 0$ ,  $s_0$  для колена с краном и  $\text{id}$  для колена.
- Переменную  $\text{var}(\square)$ . Она равна  $z_i$  для клетки в  $i$ -той строке лесенки и  $x_i$  для клетки в  $i$ -том блоке-уголке.

Каждому  $b$ -pipe dream  $D$  сопоставим:

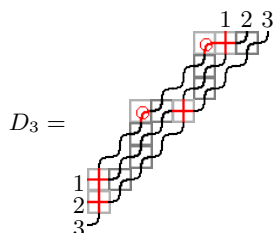
- Моном  $\mathbf{x}^{\alpha(D)} \mathbf{z}^{\beta(D)} = \prod_{\square \in B_{\mathcal{B}_n}^k} \text{var}(\square)^{\text{wt}(\square)}$  (т.е. произведение  $z_i$  и  $x_i$  по всем крестам и коленам с краном в  $D$ );
- Слово  $\text{word}(D)$ , получающееся при выписывании букв  $\sigma(\square)$  при чтении  $D$  справа налево сверху вниз.
- Если  $\text{word}(D)$  — приведенное слово для  $w \in \mathcal{BC}_n$ , то  $b$ -pipe dream  $D$  называется *приведенным формы  $w = w(D)$* .



$$\mathbf{x}^{\alpha(D_1)} \mathbf{z}^{\beta(D_1)} = z_1 z_2 x_1^3 x_2$$

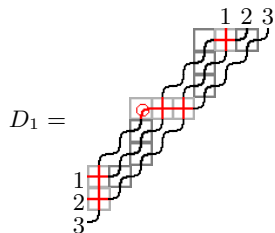


$$\mathbf{x}^{\alpha(D_2)} \mathbf{z}^{\beta(D_2)} = z_1^2 z_2 x_1^3 x_2$$



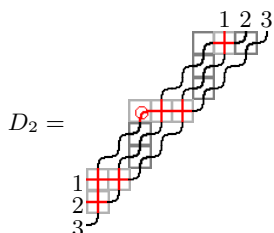
$$\mathbf{x}^{\alpha(D_3)} \mathbf{z}^{\beta(D_3)} = z_1 z_2 x_1^2 x_2^2$$





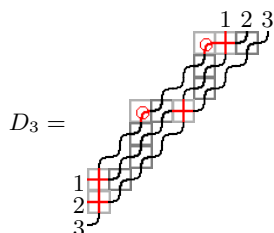
$$\mathbf{x}^{\alpha(D_1)} \mathbf{z}^{\beta(D_1)} = z_1 z_2 x_1^3 x_2$$

$$\text{word}(D_1) = s_1 s_2 s_1 s_0 s_1 s_2$$



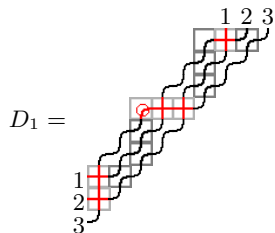
$$\mathbf{x}^{\alpha(D_2)} \mathbf{z}^{\beta(D_2)} = z_1^2 z_2 x_1^3 x_2$$

$$\text{word}(D_2) = s_1 s_2 s_1 s_0 s_2 s_1 s_2$$



$$\mathbf{x}^{\alpha(D_3)} \mathbf{z}^{\beta(D_3)} = z_1 z_2 x_1^2 x_2^2$$

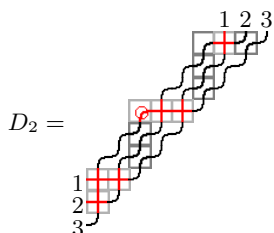
$$\text{word}(D_3) = s_1 s_0 s_2 s_0 s_1 s_2$$



$$\mathbf{x}^{\alpha(D_1)} \mathbf{z}^{\beta(D_1)} = z_1 z_2 x_1^3 x_2$$

$$\text{word}(D_1) = s_1 s_2 s_1 s_0 s_1 s_2$$

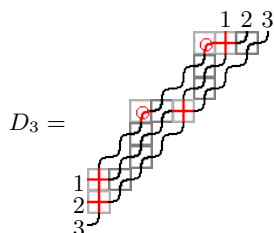
$$w(D_1) = 21\bar{3} \in \mathcal{BC}_3$$



$$\mathbf{x}^{\alpha(D_2)} \mathbf{z}^{\beta(D_2)} = z_1^2 z_2 x_1^3 x_2$$

$$\text{word}(D_2) = s_1 s_2 s_1 s_0 s_2 s_1 s_2$$

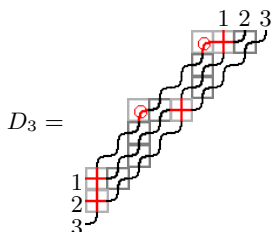
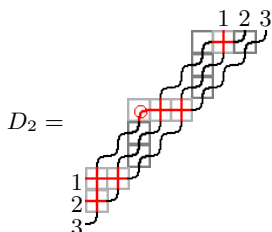
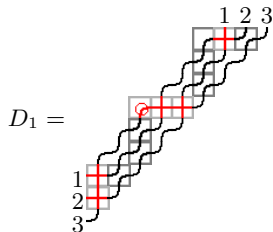
$D_2$  — неприведенный.



$$\mathbf{x}^{\alpha(D_3)} \mathbf{z}^{\beta(D_3)} = z_1 z_2 x_1^2 x_2^2$$

$$\text{word}(D_3) = s_1 s_0 s_2 s_0 s_1 s_2$$

$D_3$  — неприведенный.



$$\mathbf{x}^{\alpha(D_1)} \mathbf{z}^{\beta(D_1)} = z_1 z_2 x_1^3 x_2$$

$$\text{word}(D_1) = s_1 s_2 s_1 s_0 s_1 s_2$$

$$w(D_1) = 21\bar{3} \in \mathcal{BC}_3$$

$$\mathbf{x}^{\alpha(D_2)} \mathbf{z}^{\beta(D_2)} = z_1^2 z_2 x_1^3 x_2$$

$$\text{word}(D_2) = s_1 s_2 s_1 s_0 s_2 s_1 s_2$$

$D_2$  — неприведенный.

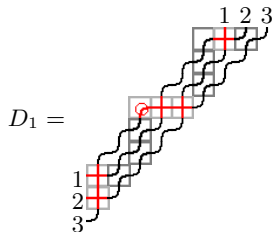
$$\mathbf{x}^{\alpha(D_3)} \mathbf{z}^{\beta(D_3)} = z_1 z_2 x_1^2 x_2^2$$

$$\text{word}(D_3) = s_1 s_0 s_2 s_0 s_1 s_2$$

$D_3$  — неприведенный.

$B$ -pipe dream является приведенным тогда и только тогда, когда

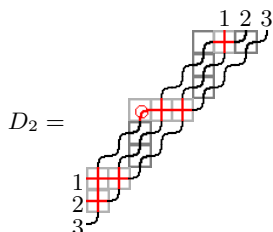
- на каждой трубе не более одного крана, и
- если две трубы пересекаются дважды, то ровно на одной из них есть кран между пересечениями.



$$\mathbf{x}^{\alpha(D_1)} \mathbf{z}^{\beta(D_1)} = z_1 z_2 x_1^3 x_2$$

$$\text{word}(D_1) = s_1 s_2 s_1 s_0 s_1 s_2$$

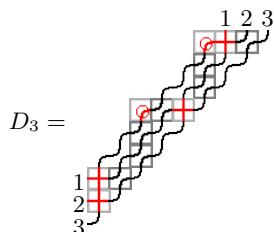
$$w(D_1) = 21\bar{3} \in \mathcal{BC}_3$$



$$\mathbf{x}^{\alpha(D_2)} \mathbf{z}^{\beta(D_2)} = z_1^2 z_2 x_1^3 x_2$$

$$\text{word}(D_2) = s_1 s_2 s_1 s_0 s_2 s_1 s_2$$

$D_2$  — неприведенный.



$$\mathbf{x}^{\alpha(D_3)} \mathbf{z}^{\beta(D_3)} = z_1 z_2 x_1^2 x_2^2$$

$$\text{word}(D_3) = s_1 s_0 s_2 s_0 s_1 s_2$$

$D_3$  — неприведенный.

$B$ -pipe dream является приведенным тогда и только тогда, когда

- на каждой трубе не более одного крана, и
- если две трубы пересекаются дважды, то ровно на одной из них есть кран между пересечениями.

Каждая труба соединяет  $i$  слева с  $\pm w(D)(i)$ . На трубе есть кран  $\Leftrightarrow w(D)(i)$  отрицательно.

## Определение

Пусть  $F \in \mathbb{Q}[\mathbf{z}, p_1(\mathbf{x}), p_3(\mathbf{x}), \dots]$  и  $k \in \mathbb{Z}_{\geq 0}$ . Определим  $k$ -усечение  $F$ :

$$F^{[k]}(\mathbf{z}, x_1, \dots, x_k) = F(\mathbf{z}, x_1, \dots, x_k, 0, 0, \dots).$$

Это симметрический многочлен по переменным  $x_1, \dots, x_k$ .

## Определение

Пусть  $F \in \mathbb{Q}[\mathbf{z}, p_1(\mathbf{x}), p_3(\mathbf{x}), \dots]$  и  $k \in \mathbb{Z}_{\geq 0}$ . Определим  $k$ -усечение  $F$ :

$$F^{[k]}(\mathbf{z}, x_1, \dots, x_k) = F(\mathbf{z}, x_1, \dots, x_k, 0, 0, \dots).$$

Это симметрический многочлен по переменным  $x_1, \dots, x_k$ .

Обозначим множество всех приведенных  $b$ -pipe dreams данной формы  $w \in \mathcal{BC}_n$  в базе с  $k$  блоками-«уголками» через  $\text{PD}_{\mathcal{B}_n}^k(w)$ .

## Теорема

Пусть  $w \in \mathcal{BC}_n$  и  $k \in \mathbb{Z}_{\geq 0}$ . Тогда

$$\mathfrak{B}_w^{[k]}(\mathbf{z}, \mathbf{x}) = \sum_{D \in \text{PD}_{\mathcal{B}_n}^k(w)} \mathbf{x}^{\alpha(D)} \mathbf{z}^{\beta(D)}$$

Можно рассматривать базу с бесконечным числом блоков-«уголков»:

$$B_{\mathcal{B}_n} := \bigcup_{k \in \mathbb{N}} B_{\mathcal{B}_n}^k.$$

Будем заполнять ее по тем же принципам, что и конечные базы, приведенность определяется так же.

Можно рассматривать базу с бесконечным числом блоков-«уголков»:

$$B_{B_n} := \bigcup_{k \in \mathbb{N}} B_{B_n}^k.$$

Будем заполнять ее по тем же принципам, что и конечные базы, приведенность определяется так же. В приведенном бесконечном  $b$ -pipe dream  $D$  конечное число крестов  $\dagger$  и колен с кранами  $\curvearrowright$ , поэтому форма  $w(D)$  и моном  $\mathbf{x}^{\alpha(D)} \mathbf{z}^{\beta(D)}$  определены корректно.



Можно рассматривать базу с бесконечным числом блоков-«уголков»:

$$B_{\mathcal{B}_n} := \bigcup_{k \in \mathbb{N}} B_{\mathcal{B}_n}^k.$$

Будем заполнять ее по тем же принципам, что и конечные базы, приведенность определяется так же. В приведенном бесконечном  $b$ -pipe dream  $D$  конечное число крестов  $\dagger$  и колен с кранами  $\curvearrowright$ , поэтому форма  $w(D)$  и моном  $\mathbf{x}^{\alpha(D)} \mathbf{z}^{\beta(D)}$  определены корректно.

Пусть  $\text{PD}_{\mathcal{B}_n}(w)$  — множество всех бесконечных приведенных  $b$ -pipe dreams данной формы  $w \in \mathcal{BC}_n$ :

$$\text{PD}_{\mathcal{B}_n}(w) = \bigcup_{k \in \mathbb{N}} \text{PD}_{\mathcal{B}_n}^k(w)$$

Можно рассматривать базу с бесконечным числом блоков-«уголков»:

$$B_{\mathcal{B}_n} := \bigcup_{k \in \mathbb{N}} B_{\mathcal{B}_n}^k.$$

Будем заполнять ее по тем же принципам, что и конечные базы, приведенность определяется так же. В приведенном бесконечном  $b$ -pipe dream  $D$  конечное число крестов  $\dagger$  и колен с краями  $\curvearrowright$ , поэтому форма  $w(D)$  и моном  $\mathbf{x}^{\alpha(D)} \mathbf{z}^{\beta(D)}$  определены корректно.

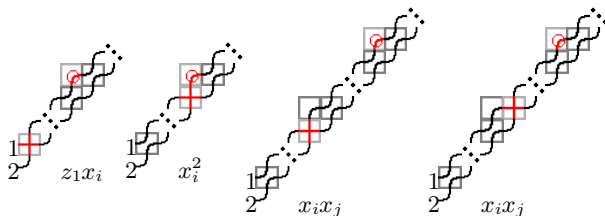
Пусть  $\text{PD}_{\mathcal{B}_n}(w)$  — множество всех бесконечных приведенных  $b$ -pipe dreams данной формы  $w \in \mathcal{BC}_n$ :

$$\text{PD}_{\mathcal{B}_n}(w) = \bigcup_{k \in \mathbb{N}} \text{PD}_{\mathcal{B}_n}^k(w)$$

Тогда многочлен Шуберта типа  $B$  можно получить как сумму мономов по бесконечным  $b$ -pipe dreams данной формы:

$$\mathfrak{B}_w(\mathbf{x}, \mathbf{z}) = \varprojlim_{k \rightarrow \infty} \mathfrak{B}_w^{[k]}(\mathbf{x}, \mathbf{z}) = \varprojlim_{k \rightarrow \infty} \sum_{D \in \text{PD}_{\mathcal{B}_n}^k(w)} \mathbf{x}^{\alpha(D)} \mathbf{z}^{\beta(D)} = \sum_{D \in \text{PD}_{\mathcal{B}_n}(w)} \mathbf{x}^{\alpha(D)} \mathbf{z}^{\beta(D)}.$$

$$w = 2\bar{1} = s_0 s_1 \in \mathcal{BC}_2$$



$$\mathfrak{B}_{s_0 s_1} = z_1 \sum_i x_i + \sum_i x_i^2 + 2 \sum_{i < j} x_i x_j = z_1 p_1(\mathbf{x}) + p_1^2(\mathbf{x}).$$

База  $B_{C_n}^k$  состоит из блока-«лесенки» (диаграммы Юнга формы  $(n-1, \dots, 2, 1)$ ) и  $k$  блоков-«уголков» (каждый уголок составлен из вертикального и горизонтального прямоугольника  $1 \times n$ ). Блоки соединены коленами  $\curvearrowright$ . В клетках с номером 0 размещаем колена  $\curvearrowright$  или колена с краном  $\curvearrowleft$ . В остальных клетках размещаем кресты  $\oplus$  или колена  $\curvearrowright$ . Назовем полученный объект  $c$ -pipe dream.

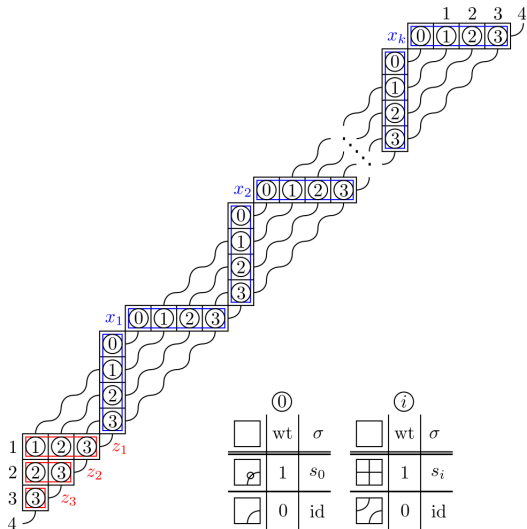


Рис.: База  $B_{C_4}^k$  для  $c$ -pipe dreams

Для каждого  $c$ -pipe dream  $D$  моном  $\mathbf{x}^{\alpha(D)}\mathbf{z}^{\beta(D)}$ , слово  $\text{word}(D)$ , свойство приведенности и форма  $w(D)$  определяется так же, как в типе  $B$ .

Для каждого  $c$ -pipe dream  $D$  моном  $\mathbf{x}^{\alpha(D)}\mathbf{z}^{\beta(D)}$ , слово  $\text{word}(D)$ , свойство приведенности и форма  $w(D)$  определяется так же, как в типе  $B$ .

Обозначим множество всех приведенных  $c$ -pipe dreams данной формы  $w \in \mathcal{BC}_n$  в базе с  $k$  блоками-«уголками» через  $\text{PD}_{\mathcal{C}_n}^k(w)$ .

## Теорема

Пусть  $w \in \mathcal{BC}_n$  и  $k \in \mathbb{Z}_{\geq 0}$ . Тогда

$$\mathfrak{e}_w^{[k]}(\mathbf{z}, \mathbf{x}) = \sum_{D \in \text{PD}_{\mathcal{C}_n}^k(w)} \mathbf{x}^{\alpha(D)}\mathbf{z}^{\beta(D)}$$

Для каждого  $c$ -pipe dream  $D$  моном  $\mathbf{x}^{\alpha(D)}\mathbf{z}^{\beta(D)}$ , слово  $\text{word}(D)$ , свойство приведенности и форма  $w(D)$  определяется так же, как в типе  $B$ .

Обозначим множество всех приведенных  $c$ -pipe dreams данной формы  $w \in \mathcal{BC}_n$  в базе с  $k$  блоками-«уголками» через  $\text{PD}_{\mathcal{C}_n}^k(w)$ .

## Теорема

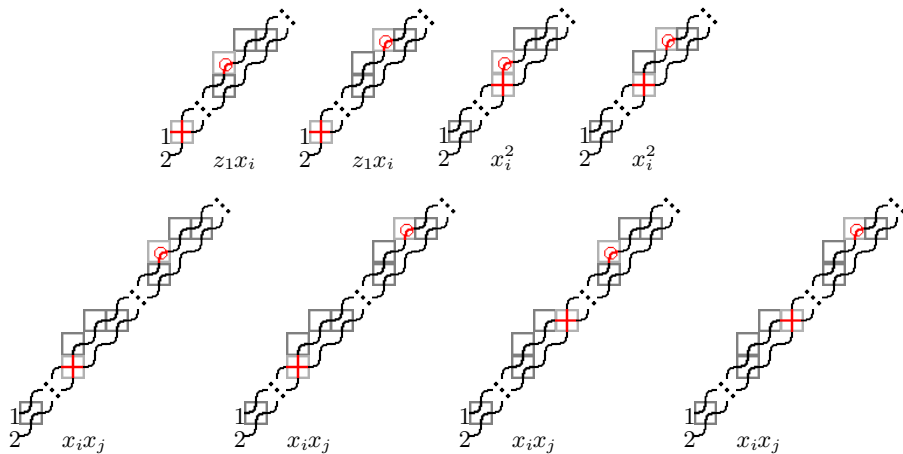
Пусть  $w \in \mathcal{BC}_n$  и  $k \in \mathbb{Z}_{\geq 0}$ . Тогда

$$\mathfrak{C}_w^{[k]}(\mathbf{z}, \mathbf{x}) = \sum_{D \in \text{PD}_{\mathcal{C}_n}^k(w)} \mathbf{x}^{\alpha(D)}\mathbf{z}^{\beta(D)}$$

Аналогично типу  $B$  определяем множество  $\text{PD}_{\mathcal{C}_n}(w)$  бесконечных приведенных  $c$ -pipe dreams данной формы  $w \in \mathcal{BC}_n$  и получаем формулу

$$\mathfrak{C}_w(\mathbf{x}, \mathbf{z}) = \sum_{D \in \text{PD}_{\mathcal{C}_n}(w)} \mathbf{x}^{\alpha(D)}\mathbf{z}^{\beta(D)}.$$

$$w = 2\bar{1} = s_0 s_1 \in \mathcal{BC}_2$$



$$\mathfrak{C}_{s_0 s_1} = 2z_1 \sum_i x_i + 2 \sum_i x_i^2 + 4 \sum_{i < j} x_i x_j = 2(z_1 p_1(\mathbf{x}) + p_1^2(\mathbf{x})).$$



База  $B_{\mathcal{D}_n}^k$  состоит из блока-«лесенки» (диаграммы Юнга формы  $(n-1, \dots, 2, 1)$ ) и  $k$  блоков-«уголков» (диаграммы Юнга формы  $(n-1, 1^{n-2})$ ). Блоки соединены коленами  $\curvearrowright$ . В клетках с номером  $1'$  размещаем колена  $\curvearrowright$ , кресты  $\oplus$ , кресты с крапом  $\oplus$  или колена с парой крапов  $\oplus$ . В остальных клетках размещаем кресты  $\oplus$  или колена  $\curvearrowright$ . Назовем полученный объект  $d$ -pipe dream.

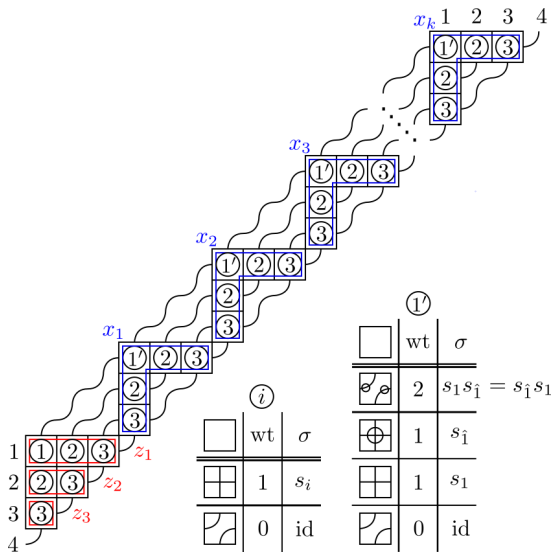


Рис.: База  $B_{\mathcal{D}_4}^k$  для  $d$ -pipe dreams

Каждой клетке  $\square$  базы сопоставим

- вес  $\text{wt}(\square)$  элемента в ней. Он равен 2 для колен с парой кранов  $\begin{array}{c} \nearrow \\ \searrow \end{array}$ , 1 для крестов  $\begin{array}{c} \uparrow \\ \downarrow \end{array}$  и крестов с краном  $\begin{array}{c} \uparrow \\ \searrow \end{array}$  и 0 для колен  $\begin{array}{c} \nearrow \\ \nearrow \end{array}$ .
- ноль, одну или две буквы  $\sigma(\square) \in \mathcal{D}_n$ . Это  $s_i$  для  $\begin{array}{c} \uparrow \\ \downarrow \end{array}$  в клетке с номером  $i$ ,  $s_1$  для  $\begin{array}{c} \uparrow \\ \searrow \end{array}$  в клетке с номером  $1'$ ,  $s_{\hat{1}}$  для  $\begin{array}{c} \uparrow \\ \searrow \end{array}$ , пара букв  $s_1 s_{\hat{1}} = s_{\hat{1}} s_1$  для  $\begin{array}{c} \nearrow \\ \searrow \end{array}$  и  $\text{id}$  для  $\begin{array}{c} \nearrow \\ \nearrow \end{array}$ .
- переменную  $\text{var}(\square)$ . Она равна  $z_i$  для клетки в  $i$ -той строке лесенки и  $x_i$  для клетки в  $i$ -том уголке.

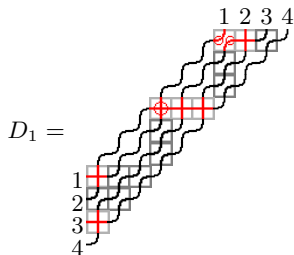
Каждой клетке  $\square$  базы сопоставим

- вес  $\text{wt}(\square)$  элемента в ней. Он равен 2 для колен с парой кранов  $\curvearrowright$ , 1 для крестов  $\vdash$  и крестов с краном  $\curvearrowright$  и 0 для колен  $\curvearrowleft$ .
- ноль, одну или две буквы  $\sigma(\square) \in \mathcal{D}_n$ . Это  $s_i$  для  $\vdash$  в клетке с номером  $i$ ,  $s_1$  для  $\vdash$  в клетке с номером  $1'$ ,  $s_{\hat{1}}$  для  $\curvearrowright$ , пара букв  $s_1 s_{\hat{1}} = s_{\hat{1}} s_1$  для  $\curvearrowright$  и  $\text{id}$  для  $\curvearrowleft$ .
- переменную  $\text{var}(\square)$ . Она равна  $z_i$  для клетки в  $i$ -той строке лесенки и  $x_i$  для клетки в  $i$ -том уголке.

Каждому  $d$ -pipe dream  $D$  сопоставим:

- Моном  $\mathbf{x}^{\alpha(D)} \mathbf{z}^{\beta(D)} = \prod_{\square \in B_{\mathcal{D}_n}^k} \text{var}(\square)^{\text{wt}(\square)}$
- Слова  $\text{word}_1(D), \dots, \text{word}_{2r(D)}(D)$ , получающиеся при выписывании букв  $\sigma(\square)$  при чтении  $D$  справа налево сверху вниз. Здесь  $r(D)$  — число элементов  $\curvearrowright$  в  $D$ , слова отличаются порядком коммутирующих букв  $s_1, s_{\hat{1}}$ .
- Если  $\text{word}_1(D)$  — приведенное слово для  $w \in \mathcal{D}_n$ , то  $d$ -pipe dream  $D$  называется *приведенным формы  $w = w(D)$* .

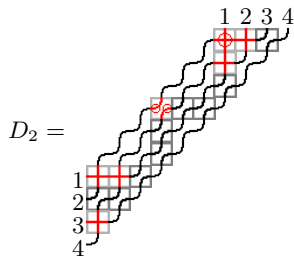




$$\mathbf{x}^{\alpha(D_1)} \mathbf{z}^{\beta(D_1)} = z_1 z_3 x_1^3 x_2^3$$

$$\text{word}_1(D_1) = s_2 s_1 s_1 s_3 s_2 s_1 s_1 s_3$$

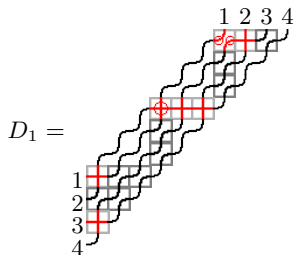
$$\text{word}_2(D_1) = s_2 s_1 s_1 s_3 s_2 s_1 s_1 s_3$$



$$\mathbf{x}^{\alpha(D_2)} \mathbf{z}^{\beta(D_2)} = z_1^2 z_3 x_1^2 x_2^3$$

$$\text{word}_1(D_2) = s_2 s_1 s_2 s_1 s_1 s_2 s_1 s_3$$

$$\text{word}_2(D_2) = s_2 s_1 s_2 s_1 s_1 s_2 s_1 s_3$$

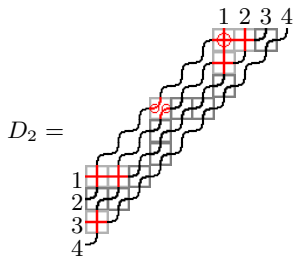


$$\mathbf{x}^{\alpha(D_1)} \mathbf{z}^{\beta(D_1)} = z_1 z_3 x_1^3 x_2^3$$

$$\text{word}_1(D_1) = s_2 s_1 s_1 s_3 s_2 s_1 s_1 s_3$$

$$\text{word}_2(D_1) = s_2 s_1 s_1 s_3 s_2 s_1 s_1 s_3$$

$$w(D_1) = 1\bar{4}2\bar{3} \in \mathcal{D}_4$$

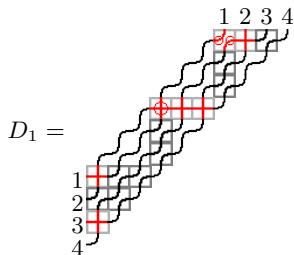


$$\mathbf{x}^{\alpha(D_2)} \mathbf{z}^{\beta(D_2)} = z_1^2 z_3 x_1^2 x_2^3$$

$$\text{word}_1(D_2) = s_2 s_1 s_2 s_1 s_1 s_2 s_1 s_3$$

$$\text{word}_2(D_2) = s_2 s_1 s_2 s_1 s_1 s_2 s_1 s_3$$

$D_2$  — неприведенный

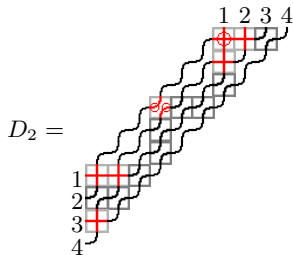


$$\mathbf{x}^{\alpha(D_1)} \mathbf{z}^{\beta(D_1)} = z_1 z_3 x_1^3 x_2^3$$

$$\text{word}_1(D_1) = s_2 s_1 s_1 s_3 s_2 s_1 s_1 s_3$$

$$\text{word}_2(D_1) = s_2 s_1 s_1 s_3 s_2 s_1 s_1 s_3$$

$$w(D_1) = 1\bar{4}2\bar{3} \in \mathcal{D}_4$$



$$\mathbf{x}^{\alpha(D_2)} \mathbf{z}^{\beta(D_2)} = z_1^2 z_3 x_1^2 x_2^3$$

$$\text{word}_1(D_2) = s_2 s_1 s_2 s_1 s_1 s_2 s_1 s_3$$

$$\text{word}_2(D_2) = s_2 s_1 s_2 s_1 s_1 s_2 s_1 s_3$$

$D_2$  — неприведенный

В приведенном  $d$ -pipe dream каждая труба соединяет  $i$  слева с  $(-1)^{c(i)} w(D)(i)$  сверху. Число  $c(i)$  — число кранов на  $i$ -той трубе.

*Значимые элементы* — все, кроме колен.

Неформально:  $d$ -pipe dream неприведенный, если в нем можно заменить некоторые значимые элементы на  $\curvearrowright$  с сохранением формы, и приведенный в противном случае.

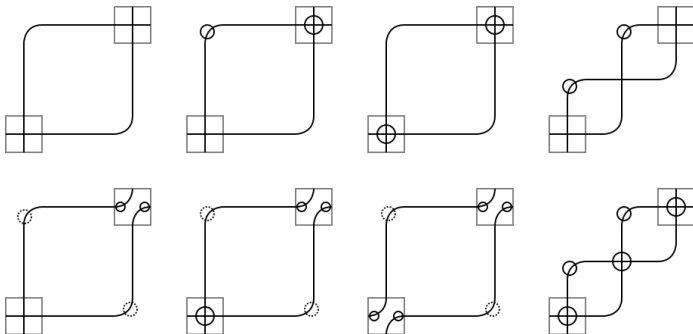


## Приведенные pipe dreams типа $D$

*Значимые элементы* — все, кроме колен.

Неформально:  $d$ -pipe dream неприведенный, если в нем можно заменить некоторые значимые элементы на  $\curvearrowright$  с сохранением формы, и приведенный в противном случае.

Формально:  $d$ -pipe dream неприведенный, если в нем встречается один из следующих 8 *запрещенных шаблонов*:



Эти шаблоны можно переворачивать. Наличие или отсутствие пунктирных краев на соответствующих трубах роли не играет.

Обозначим множество всех приведенных  $d$ -pipe dreams данной формы  $w \in \mathcal{D}_n$  в базе с  $k$  блоками-«уголками» через  $\text{PD}_{\mathcal{D}_n}^k(w)$ .

## Теорема

Пусть  $w \in \mathcal{D}_n$  и  $k \in \mathbb{Z}_{\geq 0}$ . Тогда

$$\mathfrak{D}_w^{[k]}(\mathbf{z}, \mathbf{x}) = \sum_{D \in \text{PD}_{\mathcal{D}_n}^k(w)} \mathbf{x}^{\alpha(D)} \mathbf{z}^{\beta(D)}$$

Обозначим множество всех приведенных  $d$ -pipe dreams данной формы  $w \in \mathcal{D}_n$  в базе с  $k$  блоками-«уголками» через  $\text{PD}_{\mathcal{D}_n}^k(w)$ .

## Теорема

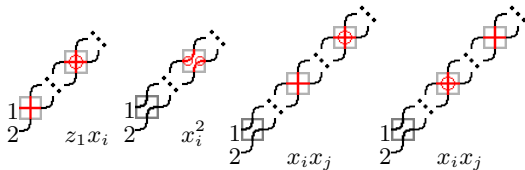
Пусть  $w \in \mathcal{D}_n$  и  $k \in \mathbb{Z}_{\geq 0}$ . Тогда

$$\mathfrak{D}_w^{[k]}(\mathbf{z}, \mathbf{x}) = \sum_{D \in \text{PD}_{\mathcal{D}_n}^k(w)} \mathbf{x}^{\alpha(D)} \mathbf{z}^{\beta(D)}$$

Аналогично типу  $B$  определяем множество  $\text{PD}_{\mathcal{D}_n}(w)$  бесконечных приведенных  $d$ -pipe dreams данной формы  $w \in \mathcal{D}_n$  и получаем формулу

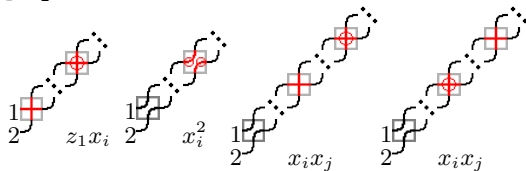
$$\mathfrak{D}_w(\mathbf{x}, \mathbf{z}) = \sum_{D \in \text{PD}_{\mathcal{D}_n}(w)} \mathbf{x}^{\alpha(D)} \mathbf{z}^{\beta(D)}.$$

$$w = \overline{12} = s_1 s_{\bar{1}} \in \mathcal{D}_2$$



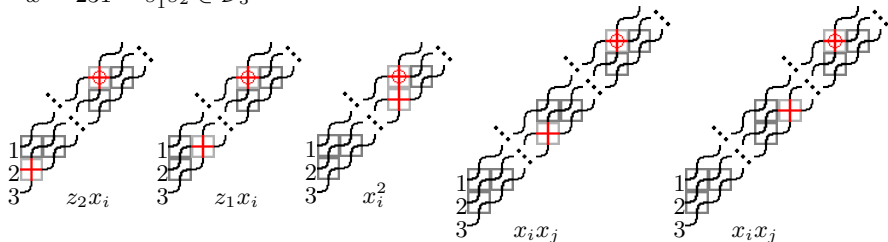
$$\mathfrak{D}_{s_1 s_{\bar{1}}} = z_1 \sum_i x_i + \sum_i x_i^2 + 2 \sum_{i < j} x_i x_j = z_1 p_1(\mathbf{x}) + p_1^2(\mathbf{x}).$$

$$w = \overline{12} = s_1 s_{\bar{1}} \in \mathcal{D}_2$$



$$\mathfrak{D}_{s_1 s_{\bar{1}}} = z_1 \sum_i x_i + \sum_i x_i^2 + 2 \sum_{i < j} x_i x_j = z_1 p_1(\mathbf{x}) + p_1^2(\mathbf{x}).$$

$$w = \overline{231} = s_{\bar{1}} s_2 \in \mathcal{D}_3$$



$$\mathfrak{D}_{s_{\bar{1}} s_2} = z_1 \sum_i x_i + z_2 \sum_i x_i + \sum_i x_i^2 + 2 \sum_{i < j} x_i x_j = (z_1 + z_2) p_1(\mathbf{x}) + p_1^2(\mathbf{x}).$$

# Допустимые движения на pipe dream

Пусть  $D, D'$  — два приведенных pipe dream (любого типа) одинаковой формы  $w$ . Допустим, они отличаются только элементами в двух клетках:  $a$  и  $b$  ( $a$  выше  $b$ ), причем эти элементы расположены одним из следующих девяти способов:

		D'		D			D'		D			D'		D			D'		D			D'		D			D'		D
		+		↘			+		↘			+		↘			+		↘			+		↘			+		↘
a		+		↘			+		↘			+		↘			+		↘			+		↘			+		↘
		+		↘			+		↘			+		↘			+		↘			+		↘			+		↘
b		↘		+			↘		+			↘		+			↘		+			↘		+			↘		+

		D'		D			D'		D			D'		D			D'		D			D'		D
		↘		+			↘		+			+		↘			+		↘			+		↘
a		↘		+			↘		+			+		↘			+		↘			+		↘
		↘		+			↘		+			+		↘			+		↘			+		↘
b		↘		+			↘		+			+		↘			+		↘			+		↘

Тогда  $D$  получается из  $D'$  при помощи *допустимого движения* (пишем  $D \succ D'$ ).

## Допустимые движения на pipe dream

Пусть  $D, D'$  — два приведенных pipe dream (любого типа) одинаковой формы  $w$ . Допустим, они отличаются только элементами в двух клетках:  $a$  и  $b$  ( $a$  выше  $b$ ), причем эти элементы расположены одним из следующих девяти способов:

	$D'$	$D$			$D'$	$D$			$D'$	$D$			$D'$	$D$			$D'$	$D$	
$a$	+	↘	$a$	⊕	↘	$a$	+	↘	$a$	⊕	↘	$a$	⊗	↘	$a$	⊗	↘	$a$	↘
$b$	↘	+	$b$	↘	+	$b$	↘	⊕	$b$	↘	⊕	$b$	↘	⊗	$b$	↘	⊗	$b$	↘

	$D'$	$D$		$D'$	$D$		$D'$	$D$		$D'$	$D$		$D'$	$D$
$a$	⊗	⊕	$a$	⊗	+	$a$	⊕	↘	$a$	+	↘	$a$	+	↘
$b$	↘	+	$b$	↘	⊕	$b$	+	⊗	$b$	⊕	⊗	$b$	⊕	⊗

Тогда  $D$  получается из  $D'$  при помощи *допустимого движения* (пишем  $D \succ D'$ ).

Неформально: допустимое движение опускает вниз какой-то значимый элемент в pipe dream  $D'$ , сохраняя форму.

## Допустимые движения на pipe dream

Пусть  $D, D'$  — два приведенных pipe dream (любого типа) одинаковой формы  $w$ . Допустим, они отличаются только элементами в двух клетках:  $a$  и  $b$  ( $a$  выше  $b$ ), причем эти элементы расположены одним из следующих девяти способов:

		$D'$		$D$			$D'$		$D$			$D'$		$D$			$D'$		$D$			$D'$		$D$
$a$		+		↘			+		↘			+		↘			+		↘			+		↘
$b$		↘		+			↘		+			↘		+			↘		+			↘		+

		$D'$		$D$			$D'$		$D$			$D'$		$D$			$D'$		$D$
$a$		↘		+			↘		+			+		↘			+		↘
$b$		↘		+			↘		+			+		↘			+		↘

Тогда  $D$  получается из  $D'$  при помощи *допустимого движения* (пишем  $D \succ D'$ ).

Неформально: допустимое движение опускает вниз какой-то значимый элемент в pipe dream  $D'$ , сохраняя форму.

Отношение  $\succ$  можно продлить до частичного порядка на множестве приведенных pipe dreams данной формы.



## Теорема

- Для любого  $w \in \mathcal{S}_n$  множество  $\text{PD}_{\mathcal{S}_n}(w)$  содержит единственный pipe dream  $D_b(w)$ , в котором не встречается  $\curvearrowright+$  (т.е. в любой строке все кресты лежат левее всех колен). Такой pipe dream называется *нижним*.

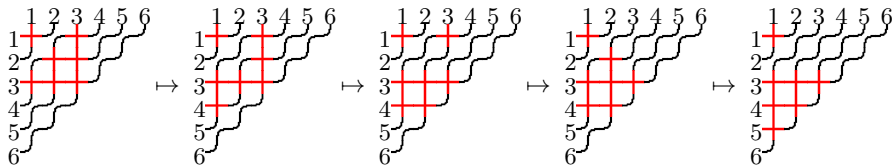
## Теорема

- Для любого  $w \in \mathcal{S}_n$  множество  $\text{PD}_{\mathcal{S}_n}(w)$  содержит единственный pipe dream  $D_b(w)$ , в котором не встречается  $\curvearrowright+$  (т.е. в любой строке все кресты лежат левее всех колен). Такой pipe dream называется *нижним*.
- Любой pipe dream  $D \in \text{PD}_{\mathcal{S}_n}(w)$  можно привести к  $D_b(w)$  последовательностью допустимых движений. Таким образом,  $D_b(w)$  — наибольший элемент относительно частичного порядка  $\succ$ .

## Теорема

- Для любого  $w \in \mathcal{S}_n$  множество  $\text{PD}_{\mathcal{S}_n}(w)$  содержит единственный pipe dream  $D_b(w)$ , в котором не встречается  $\curvearrowright$  (т.е. в любой строке все кресты лежат левее всех колен). Такой pipe dream называется *нижним*.
- Любой pipe dream  $D \in \text{PD}_{\mathcal{S}_n}(w)$  можно привести к  $D_b(w)$  последовательностью допустимых движений. Таким образом,  $D_b(w)$  — наибольший элемент относительно частичного порядка  $\succ$ .

$$w = 216543 \in \mathcal{S}_6$$



## Теорема

- Для любого  $w \in \mathcal{BC}_n$  множество  $\text{PD}_{\mathcal{B}_n}(w)$  содержит единственный нижний pipe dream  $D_b(w)$ , удовлетворяющий следующим условиям:
  - В  $D_b(w)$  нет фрагментов  $\begin{array}{c} \diagup \\ | \\ \diagdown \end{array}$  и  $\begin{array}{c} \diagdown \\ | \\ \diagup \end{array}$ .
  - Количество значимых элементов в блоках-уголках строго убывает с ростом номера блока (пока не станет нулевым).

## Теорема

- Для любого  $w \in \mathcal{BC}_n$  множество  $\text{PD}_{\mathcal{B}_n}(w)$  содержит единственный нижний pipe dream  $D_b(w)$ , удовлетворяющий следующим условиям:
  - В  $D_b(w)$  нет фрагментов  $\begin{array}{c} \diagup \\ | \\ \diagdown \end{array}$  и  $\begin{array}{c} \diagdown \\ | \\ \diagup \end{array}$ .
  - Количество значимых элементов в блоках-уголках строго убывает с ростом номера блока (пока не станет нулевым).

## Теорема

- Для любого  $w \in \mathcal{BC}_n$  множество  $\text{PD}_{\mathcal{B}_n}(w)$  содержит единственный нижний pipe dream  $D_b(w)$ , удовлетворяющий следующим условиям:
  - В  $D_b(w)$  нет фрагментов  $\begin{array}{c} \diagup \\ | \\ \diagdown \end{array}$  и  $\begin{array}{c} \diagdown \\ | \\ \diagup \end{array}$ .
  - Количество значимых элементов в блоках-уголках строго убывает с ростом номера блока (пока не станет нулевым).

## Теорема

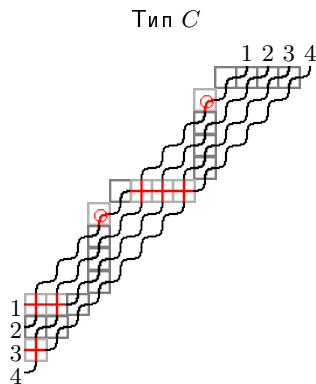
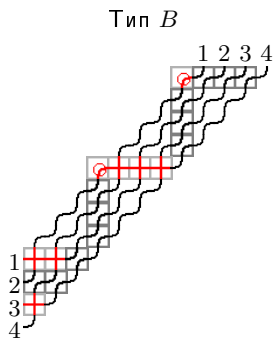
- Для любого  $w \in \mathcal{BC}_n$  множество  $\text{PD}_{\mathcal{B}_n}(w)$  содержит единственный нижний pipe dream  $D_b(w)$ , удовлетворяющий следующим условиям:
  - В  $D_b(w)$  нет фрагментов  $\begin{array}{c} \diagup \\ | \\ \diagdown \end{array}$  и  $\begin{array}{c} \diagdown \\ | \\ \diagup \end{array}$ .
  - Количество значимых элементов в блоках-уголках строго убывает с ростом номера блока (пока не станет нулевым).
- Любой pipe dream  $D \in \text{PD}_{\mathcal{B}_n}(w)$  можно привести к  $D_b(w)$  последовательностью допустимых движений. Таким образом,  $D_b(w)$  — наибольший элемент в  $\text{PD}_{\mathcal{B}_n}(w)$  относительно частичного порядка  $\succ$ .

## Теорема

- Для любого  $w \in \mathcal{BC}_n$  множество  $\text{PD}_{\mathcal{B}_n}(w)$  содержит единственный нижний pipe dream  $D_b(w)$ , удовлетворяющий следующим условиям:
  - В  $D_b(w)$  нет фрагментов  $\curvearrowright\uparrow$  и  $\curvearrowleft\uparrow$ .
  - Количество значимых элементов в блоках-уголках строго убывает с ростом номера блока (пока не станет нулевым).
- Любой pipe dream  $D \in \text{PD}_{\mathcal{B}_n}(w)$  можно привести к  $D_b(w)$  последовательностью допустимых движений. Таким образом,  $D_b(w)$  — наибольший элемент в  $\text{PD}_{\mathcal{B}_n}(w)$  относительно частичного порядка  $\succ$ .

Аналогичная теорема верна и для  $c$ -pipe dreams. Единственное изменение:  $\curvearrowright\uparrow$  может встречаться у левых концов горизонтальных частей блоков-уголков, а колена с крапом в  $D_b(w)$  располагаются в их вертикальных частях.





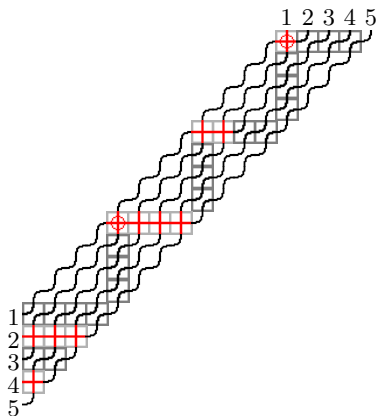
$$w = 2\bar{4}3\bar{1} \in \mathcal{BC}_4$$

## Теорема

- Для любого  $w \in \mathcal{D}_n$  множество  $\text{PD}_{\mathcal{D}_n}(w)$  содержит единственный *нижний* pipe dream  $D_b(w)$ , удовлетворяющий следующим условиям:
  - В  $D_b(w)$  нет фрагментов  $\curvearrowright \vdash$  (но  $\curvearrowleft \vdash$  может быть).
  - Количество значимых элементов в блоках-уголках строго убывает с ростом номера блока (пока не станет нулевым).
  - В клетках  $1'$  непустых блоков-уголков стоят  $\vdash$  и  $\dashv$ , причем они чередуются: в блоках с нечетными номерами стоят  $\dashv$ , а в блоках с четными  $\vdash$ .

## Теорема

- Для любого  $w \in \mathcal{D}_n$  множество  $\text{PD}_{\mathcal{D}_n}(w)$  содержит единственный *нижний* pipe dream  $D_b(w)$ , удовлетворяющий следующим условиям:
  - В  $D_b(w)$  нет фрагментов  $\curvearrowright \vdash$  (но  $\curvearrowleft \vdash$  может быть).
  - Количество значимых элементов в блоках-уголках строго убывает с ростом номера блока (пока не станет нулевым).
  - В клетках  $1'$  непустых блоков-уголков стоят  $\vdash$  и  $\dashv$ , причем они чередуются: в блоках с нечетными номерами стоят  $\dashv$ , а в блоках с четными  $\vdash$ .
- Любой pipe dream  $D \in \text{PD}_{\mathcal{D}_n}(w)$  можно привести к  $D_b(w)$  последовательностью допустимых движений. Таким образом,  $D_b(w)$  — наибольший элемент в  $\text{PD}_{\mathcal{D}_n}(w)$  относительно частичного порядка  $\succ$ .



$$w = \overline{54312} \in \mathcal{D}_5$$

Пусть  $w \in \mathcal{S}_n$  и  $D_b = D_b(w)$  — нижний pipe dream в  $\text{PD}_{\mathcal{S}_n}(w)$ . Тогда моном  $\mathbf{z}^{\beta(D_b)}$  — лексикографически старший в  $\mathfrak{S}_w(\mathbf{z})$  относительно порядка переменных  $z_{n-1} > \cdots > z_2 > z_1$ .

Пусть  $w \in \mathcal{S}_n$  и  $D_b = D_b(w)$  — нижний pipe dream в  $\text{PD}_{\mathcal{S}_n}(w)$ . Тогда моном  $\mathbf{z}^{\beta(D_b)}$  — лексикографически старший в  $\mathfrak{S}_w(\mathbf{z})$  относительно порядка переменных  $z_{n-1} > \dots > z_2 > z_1$ .

## Следствие

Многочлены Шуберта  $\{\mathfrak{S}_w(\mathbf{z}) \mid w \in \mathcal{S}_\infty\}$  образуют базис в  $\mathbb{Q}[\mathbf{z}]$ .

Пусть  $w \in \mathcal{S}_n$  и  $D_b = D_b(w)$  — нижний pipe dream в  $\text{PD}_{\mathcal{S}_n}(w)$ . Тогда моном  $\mathbf{z}^{\beta(D_b)}$  — лексикографически старший в  $\mathfrak{S}_w(\mathbf{z})$  относительно порядка переменных  $z_{n-1} > \dots > z_2 > z_1$ .

## Следствие

Многочлены Шуберта  $\{\mathfrak{S}_w(\mathbf{z}) \mid w \in \mathcal{S}_\infty\}$  образуют базис в  $\mathbb{Q}[\mathbf{z}]$ .

Пусть  $w \in \mathcal{BC}_n$  (или  $w \in \mathcal{D}_n$ ) и  $D_b = D_b(w)$  — нижний pipe dream в  $\text{PD}_{\mathcal{BC}_n}(w)$  (соотв.  $\text{PD}_{\mathcal{D}_n}(w)$ ). Тогда моном  $\mathbf{x}^{\alpha(D_b)}\mathbf{z}^{\beta(D_b)}$  — лексикографически старший в  $\mathfrak{B}_w(\mathbf{z}, \mathbf{x})$  (соотв. в  $\mathfrak{C}_w(\mathbf{z}, \mathbf{x})$  или  $\mathfrak{D}_w(\mathbf{z}, \mathbf{x})$ ) относительно порядка переменных  $z_{n-1} > \dots > z_2 > z_1 > x_1 > x_2 > \dots$ .

Пусть  $w \in \mathcal{S}_n$  и  $D_b = D_b(w)$  — нижний pipe dream в  $\text{PD}_{\mathcal{S}_n}(w)$ . Тогда моном  $\mathbf{z}^{\beta(D_b)}$  — лексикографически старший в  $\mathfrak{S}_w(\mathbf{z})$  относительно порядка переменных  $z_{n-1} > \dots > z_2 > z_1$ .

## Следствие

Многочлены Шуберта  $\{\mathfrak{S}_w(\mathbf{z}) \mid w \in \mathcal{S}_\infty\}$  образуют базис в  $\mathbb{Q}[\mathbf{z}]$ .

Пусть  $w \in \mathcal{BC}_n$  (или  $w \in \mathcal{D}_n$ ) и  $D_b = D_b(w)$  — нижний pipe dream в  $\text{PD}_{\mathcal{BC}_n}(w)$  (соотв.  $\text{PD}_{\mathcal{D}_n}(w)$ ). Тогда моном  $\mathbf{x}^{\alpha(D_b)} \mathbf{z}^{\beta(D_b)}$  — лексикографически старший в  $\mathfrak{B}_w(\mathbf{z}, \mathbf{x})$  (соотв. в  $\mathfrak{C}_w(\mathbf{z}, \mathbf{x})$  или  $\mathfrak{D}_w(\mathbf{z}, \mathbf{x})$ ) относительно порядка переменных  $z_{n-1} > \dots > z_2 > z_1 > x_1 > x_2 > \dots$ .

## Лемма

Пусть  $f(\mathbf{x}) \in \mathbb{Q}[p_1(\mathbf{x}), p_3(\mathbf{x}), p_5(\mathbf{x}), \dots]$  и  $x_1^{\alpha_1} x_2^{\alpha_2} \dots x_s^{\alpha_s}$  — старший моном в  $f(\mathbf{x})$ . Тогда  $\alpha_1 > \alpha_2 > \alpha_3 > \dots$ .



Пусть  $w \in \mathcal{S}_n$  и  $D_b = D_b(w)$  — нижний pipe dream в  $\text{PD}_{\mathcal{S}_n}(w)$ . Тогда моном  $\mathbf{z}^{\beta(D_b)}$  — лексикографически старший в  $\mathfrak{S}_w(\mathbf{z})$  относительно порядка переменных  $z_{n-1} > \dots > z_2 > z_1$ .

## Следствие

Многочлены Шуберта  $\{\mathfrak{S}_w(\mathbf{z}) \mid w \in \mathcal{S}_\infty\}$  образуют базис в  $\mathbb{Q}[\mathbf{z}]$ .

Пусть  $w \in \mathcal{BC}_n$  (или  $w \in \mathcal{D}_n$ ) и  $D_b = D_b(w)$  — нижний pipe dream в  $\text{PD}_{\mathcal{BC}_n}(w)$  (соотв.  $\text{PD}_{\mathcal{D}_n}(w)$ ). Тогда моном  $\mathbf{x}^{\alpha(D_b)} \mathbf{z}^{\beta(D_b)}$  — лексикографически старший в  $\mathfrak{B}_w(\mathbf{z}, \mathbf{x})$  (соотв. в  $\mathfrak{C}_w(\mathbf{z}, \mathbf{x})$  или  $\mathfrak{D}_w(\mathbf{z}, \mathbf{x})$ ) относительно порядка переменных  $z_{n-1} > \dots > z_2 > z_1 > x_1 > x_2 > \dots$ .

## Лемма

Пусть  $f(\mathbf{x}) \in \mathbb{Q}[p_1(\mathbf{x}), p_3(\mathbf{x}), p_5(\mathbf{x}), \dots]$  и  $x_1^{\alpha_1} x_2^{\alpha_2} \dots x_s^{\alpha_s}$  — старший моном в  $f(\mathbf{x})$ . Тогда  $\alpha_1 > \alpha_2 > \alpha_3 > \dots$ .

## Следствие

Каждое из трех семейств многочленов Шуберта  $\{\mathfrak{B}_w \mid w \in \mathcal{BC}_\infty\}$ ,  $\{\mathfrak{C}_w \mid w \in \mathcal{BC}_\infty\}$ ,  $\{\mathfrak{D}_w \mid w \in \mathcal{D}_\infty\}$  образует базис в  $\mathbb{Q}[\mathbf{z}, p_1(\mathbf{x}), p_3(\mathbf{x}), \dots]$ .

- Пусть  $2 \leq k \leq n - 1$ . Перестановка  $w \in \mathcal{S}_n$  называется  $k$ -грассмановой, если

$$w(1) < w(2) < \dots < w(k) > w(k+1) < w(k+2) < \dots < w(n)$$

## Пример

- $w = 135624 \in \mathcal{S}_6$  — 4-грассманова перестановка.

- Пусть  $2 \leq k \leq n - 1$ . Перестановка  $w \in \mathcal{S}_n$  называется  $k$ -грассмановой, если

$$w(1) < w(2) < \dots < w(k) > w(k+1) < w(k+2) < \dots < w(n)$$

- Перестановка  $w \in \mathcal{BC}_n$  или  $w \in \mathcal{D}_n$  называется грассмановой, если

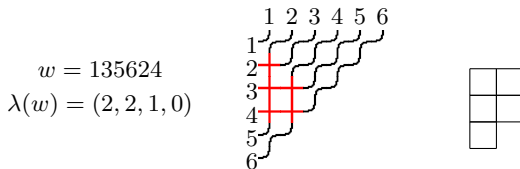
$$w(1) < w(2) < \dots < w(n).$$

## Пример

- $w = 135624 \in \mathcal{S}_6$  — 4-грассманова перестановка.
- $w = \overline{641}235 \in \mathcal{BC}_6$
- $w = \overline{6431}25 \in \mathcal{D}_6$  — грассмановы перестановки

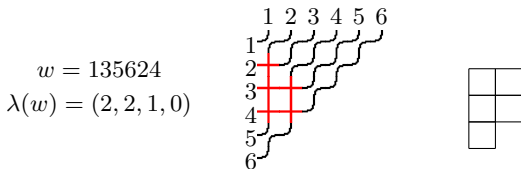
Пусть  $w \in \mathcal{S}_n$  —  $k$ -грассманова перестановка.

- В нижнем pipe dream  $D_b(w)$  кресты расположены в позициях, соответствующих клеткам перевернутой диаграммы Юнга формы  $\lambda(w)$ .

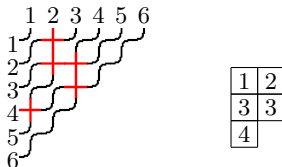


Пусть  $w \in \mathcal{S}_n$  —  $k$ -грассманова перестановка.

- В нижнем pipe dream  $D_b(w)$  кресты расположены в позициях, соответствующих клеткам перевернутой диаграммы Юнга формы  $\lambda(w)$ .



- Если  $D \in PD_{\mathcal{S}_n}(w)$ , то приведем его к  $D_b(w)$  допустимыми движениями. Запишем на месте каждого крестика в диаграмме Юнга число  $k - i + 1$ , если изначально крест был в строке  $i$ .



- Обозначим через  $SSYT_{\lambda}(k)$  множество всех полустандартных таблиц Юнга формы  $\lambda$ , заполненных числами от 1 до  $k$  (напомним, что в таблице Юнга числа нестрого возрастают вдоль строк и строго возрастают вдоль столбцов).

- Обозначим через  $\text{SSYT}_\lambda(k)$  множество всех полустандартных таблиц Юнга формы  $\lambda$ , заполненных числами от 1 до  $k$  (напомним, что в таблице Юнга числа нестрого возрастают вдоль строк и строго возрастают вдоль столбцов).
- Как известно, многочлены Шура  $s_\lambda(w)$  можно получить как сумму мономов по таблицам Юнга:

$$s_\lambda(z_1, \dots, z_k) = \sum_{T \in \text{SSYT}_k(\lambda)} \mathbf{z}^T,$$

где  $\mathbf{z}^T$  — произведение  $z_i$  по всем вхождениям  $i$  в  $T$ .

- Обозначим через  $\text{SSYT}_\lambda(k)$  множество всех полустандартных таблиц Юнга формы  $\lambda$ , заполненных числами от 1 до  $k$  (напомним, что в таблице Юнга числа нестрого возрастают вдоль строк и строго возрастают вдоль столбцов).
- Как известно, многочлены Шура  $s_\lambda(w)$  можно получить как сумму мономов по таблицам Юнга:

$$s_\lambda(z_1, \dots, z_k) = \sum_{T \in \text{SSYT}_k(\lambda)} \mathbf{z}^T,$$

где  $\mathbf{z}^T$  — произведение  $z_i$  по всем вхождениям  $i$  в  $T$ .

- Мы установили биекцию между  $\text{PD}_{\mathcal{S}_n}(w)$  и  $\text{SSYT}_{\lambda(w)}(k)$  для  $k$ -грассмановой перестановки  $w \in \mathcal{S}_n$ . Если таблица  $T$  соответствует pipe dream  $D$ , то  $\tilde{\mathbf{z}}^T = \mathbf{z}^{\beta(D)}$  (здесь  $\tilde{\mathbf{z}} = (z_k, \dots, z_2, z_1)$ ).



- Обозначим через  $\text{SSYT}_\lambda(k)$  множество всех полустандартных таблиц Юнга формы  $\lambda$ , заполненных числами от 1 до  $k$  (напомним, что в таблице Юнга числа нестрого возрастают вдоль строк и строго возрастают вдоль столбцов).
- Как известно, многочлены Шура  $s_\lambda(w)$  можно получить как сумму мономов по таблицам Юнга:

$$s_\lambda(z_1, \dots, z_k) = \sum_{T \in \text{SSYT}_k(\lambda)} \mathbf{z}^T,$$

где  $\mathbf{z}^T$  — произведение  $z_i$  по всем вхождениям  $i$  в  $T$ .

- Мы установили биекцию между  $\text{PD}_{\mathcal{S}_n}(w)$  и  $\text{SSYT}_{\lambda(w)}(k)$  для  $k$ -грассмановой перестановки  $w \in \mathcal{S}_n$ . Если таблица  $T$  соответствует pipe dream  $D$ , то  $\tilde{\mathbf{z}}^T = \mathbf{z}^{\beta(D)}$  (здесь  $\tilde{\mathbf{z}} = (z_k, \dots, z_2, z_1)$ ).

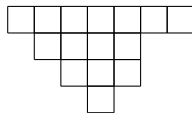
## Теорема

Пусть  $w \in \mathcal{S}_n$  —  $k$ -грассманова перестановка,  $\lambda(w)$  — соответствующее разбиение. Тогда

$$\mathfrak{S}_w(z_1, z_2, \dots, z_k) = s_{\lambda(w)}(z_k, \dots, z_2, z_1) = s_{\lambda(w)}(z_1, z_2, \dots, z_n)$$

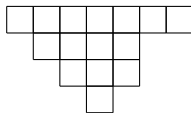
- Пусть  $\mu = (\mu_1 > \mu_2 > \dots > \mu_\ell > 0)$  — строго убывающее разбиение. Его можно изобразить в виде *сдвинутой диаграммы Юнга*:

$$\mu = (7, 4, 3, 1)$$



- Пусть  $\mu = (\mu_1 > \mu_2 > \dots > \mu_\ell > 0)$  — строго убывающее разбиение. Его можно изобразить в виде *сдвинутой диаграммы Юнга*:

$$\mu = (7, 4, 3, 1)$$



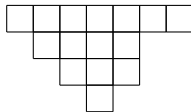
- Заполним сдвинутую диаграмму Юнга формы  $\mu$  числами  $1^\circ < 1 < 2^\circ < 2 < \dots$  таким образом, что
  - Числа нестрого возрастают по строкам и по столбцам.
  - В каждой строке числа с кружками не повторяются.
  - В каждом столбце числа без кружков не повторяются.

Получается *кружковая таблица Юнга*.

$1^\circ$	$2^\circ$	2	2	$3^\circ$	4	4
	2	$3^\circ$	$4^\circ$	4		
		$3^\circ$	4	5		
			$5^\circ$			

- Пусть  $\mu = (\mu_1 > \mu_2 > \dots > \mu_\ell > 0)$  — строго убывающее разбиение. Его можно изобразить в виде *сдвинутой диаграммы Юнга*:

$$\mu = (7, 4, 3, 1)$$



- Заполним сдвинутую диаграмму Юнга формы  $\mu$  числами  $1^\circ < 1 < 2^\circ < 2 < \dots$  таким образом, что
  - Числа нестрого возрастают по строкам и по столбцам.
  - В каждой строке числа с кружками не повторяются.
  - В каждом столбце числа без кружков не повторяются.

Получается *кружковая таблица Юнга*.

$1^\circ$	$2^\circ$	2	2	$3^\circ$	4	4
	2	$3^\circ$	$4^\circ$	4		
		$3^\circ$	4	5		
			$5^\circ$			

- Множество всех кружковых таблиц формы  $\mu$  обозначим за  $\text{CYT}(\mu)$ . В подмножестве  $\text{CYT}'(\mu) \subset \text{CYT}(\mu)$  содержатся такие таблицы, у которых в первой клетке каждой строки стоит число без кружка.

- Каждой кружковой таблице  $T$  можно сопоставить моном  $\mathbf{x}^T$  — произведение переменных  $x_i$  по всем вхождениям  $i^\circ$  и  $i$  в  $T$ .

- Каждой кружковой таблице  $T$  можно сопоставить моном  $\mathbf{x}^T$  — произведение переменных  $x_i$  по всем вхождениям  $i^\circ$  и  $i$  в  $T$ .
- $P$ - и  $Q$ -функции Шура определяются как суммы мономов по кружковым таблицам Юнга:

$$Q_\mu(\mathbf{x}) = \sum_{T \in \text{CYT}(\mu)} \mathbf{x}^T, \quad P_\mu(\mathbf{x}) = \sum_{T \in \text{CYT}'(\mu)} \mathbf{x}^T$$

- Каждой кружковой таблице  $T$  можно сопоставить моном  $\mathbf{x}^T$  — произведение переменных  $x_i$  по всем вхождениям  $i^\circ$  и  $i$  в  $T$ .
- $P$ - и  $Q$ -функции Шура определяются как суммы мономов по кружковым таблицам Юнга:

$$Q_\mu(\mathbf{x}) = \sum_{T \in \text{CYT}(\mu)} \mathbf{x}^T, \quad P_\mu(\mathbf{x}) = \sum_{T \in \text{CYT}'(\mu)} \mathbf{x}^T$$

- У первых чисел в строках можно ставить и убирать кружки произвольным образом. Поэтому  $P_\mu(\mathbf{x}) = 2^{-\ell(\mu)} Q_\mu(\mathbf{x})$ , где  $\ell(\mu)$  — число чисел в  $\mu$ .

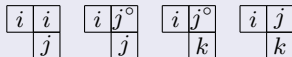
- Каждой кружковой таблице  $T$  можно сопоставить моном  $\mathbf{x}^T$  — произведение переменных  $x_i$  по всем вхождениям  $i^\circ$  и  $i$  в  $T$ .
- $P$ - и  $Q$ -функции Шура определяются как суммы мономов по кружковым таблицам Юнга:

$$Q_\mu(\mathbf{x}) = \sum_{T \in \text{CYT}(\mu)} \mathbf{x}^T, \quad P_\mu(\mathbf{x}) = \sum_{T \in \text{CYT}'(\mu)} \mathbf{x}^T$$

- У первых чисел в строках можно ставить и убирать кружки произвольным образом. Поэтому  $P_\mu(\mathbf{x}) = 2^{-\ell(\mu)} Q_\mu(\mathbf{x})$ , где  $\ell(\mu)$  — число чисел в  $\mu$ .

## Пример

Пусть  $\mu = (2, 1)$  и  $i < j < k$  — произвольные натуральные числа. Перечислим кружковые таблицы Юнга из  $\text{CYT}'(\mu)$ :



$$P_{(2,1)}(\mathbf{x}) = \sum_{i < j} (x_i^2 x_j + x_i x_j^2) + 2 \sum_{i < j < k} x_i x_j x_k = \frac{1}{3} p_1^3(\mathbf{x}) - \frac{1}{3} p_3(\mathbf{x}),$$

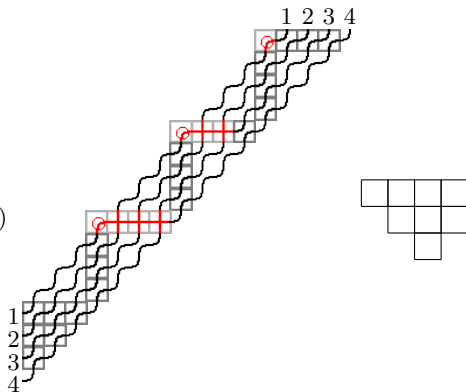
$$Q_{(2,1)}(\mathbf{x}) = 4P_{(2,1)}(\mathbf{x}) = \frac{4}{3} p_1^3(\mathbf{x}) - \frac{4}{3} p_3(\mathbf{x}).$$



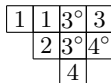
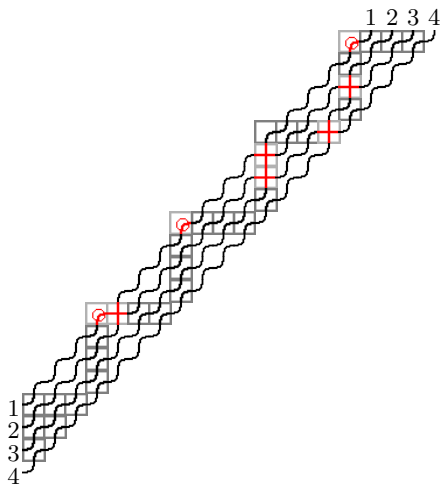
Пусть  $w \in \mathcal{BC}_n$  — грассманова перестановка и  $D_b(w) \in \text{PD}_{\mathcal{BC}_n}(w)$  — соответствующий нижний pipe dream. В блоке-лестнице крестов нет, и значимым элементам в блоках-уголках можно сопоставить клеткам перевернутой сдвинутой диаграммы Юнга формы  $\mu(w)$ .

$$w = \overline{4312}$$

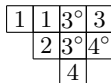
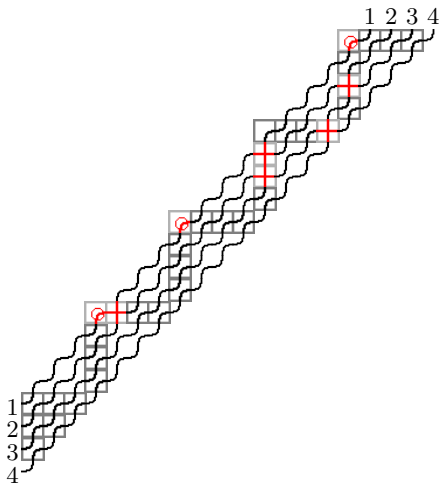
$$\mu(w) = (4, 3, 1, 0)$$



Приведем  $D \in PD_{B_n}(w)$  к  $D_b(w)$  допустимыми движениями. Запишем на месте каждого крестика в сдвинутой диаграмме Юнга число  $i$ , если изначально крестик был в горизонтальной части  $i$ -того блока-уголка (включая угол), и  $i^\circ$ , если в вертикальной.



Приведем  $D \in PD_{B_n}(w)$  к  $D_b(w)$  допустимыми движениями. Запишем на месте каждого крестика в сдвинутой диаграмме Юнга число  $i$ , если изначально крестик был в горизонтальной части  $i$ -того блока-уголка (включая угол), и  $i^\circ$ , если в вертикальной. Это даст биекцию между  $CYT'(\mu(w))$  и  $PD_{B_n}(w)$ , сохраняющую соответствующие мономы.



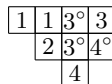
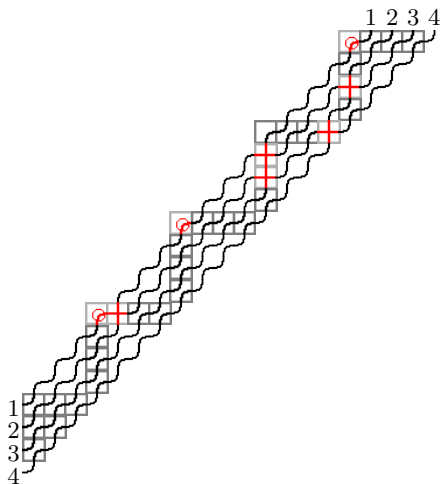
Приведем  $D \in PD_{\mathcal{B}_n(w)}$  к  $D_b(w)$  допустимыми движениями. Запишем на месте каждого крестика в сдвинутой диаграмме Юнга число  $i$ , если изначально крестик был в горизонтальной части  $i$ -того блока-уголка (включая угол), и  $i^\circ$ , если в вертикальной. Это даст биекцию между  $CYT'(\mu(w))$  и  $PD_{\mathcal{B}_n(w)}$ , сохраняющую соответствующие мономы.

## Теорема

Для грассмановых перестановок  $w \in \mathcal{BC}_n$

$$\mathfrak{B}_w(\mathbf{z}, \mathbf{x}) = P_{\mu(w)}(\mathbf{x})$$

$$\mathfrak{C}_w(\mathbf{z}, \mathbf{x}) = Q_{\mu(w)}(\mathbf{x})$$

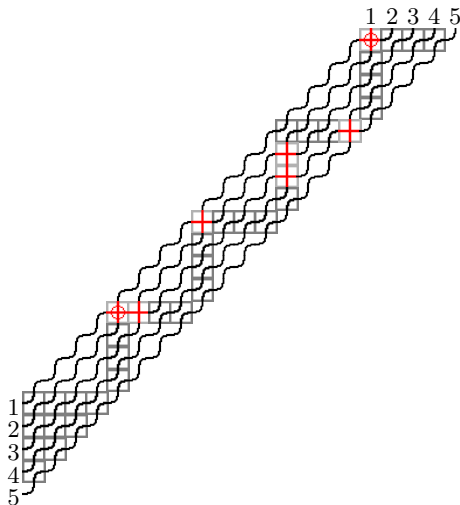


Аналогичная теорема верна и для типа  $D$ :

### Теорема

Для грассмановых перестановок  $w \in \mathcal{D}_n$

$$\mathcal{D}_w(\mathbf{z}, \mathbf{x}) = P_{\mu(w)}(\mathbf{x})$$



$$w = \overline{54213} \in \mathcal{D}_5, \quad \begin{array}{|c|c|c|} \hline 1 & 1 & 3^\circ & 3 \\ \hline & 2 & 3^\circ & 4^\circ \\ \hline & & & 4 \\ \hline \end{array}$$

Спасибо за внимание!